

# Interacciones en la interfaz dermatan sulfato - calcita

Rodrigo González

Doctorado en Ciencias de la Ingeniería  
mención Ciencia de los Materiales,  
Universidad de Chile.

Leonardo Caballero & Francisco Melo.

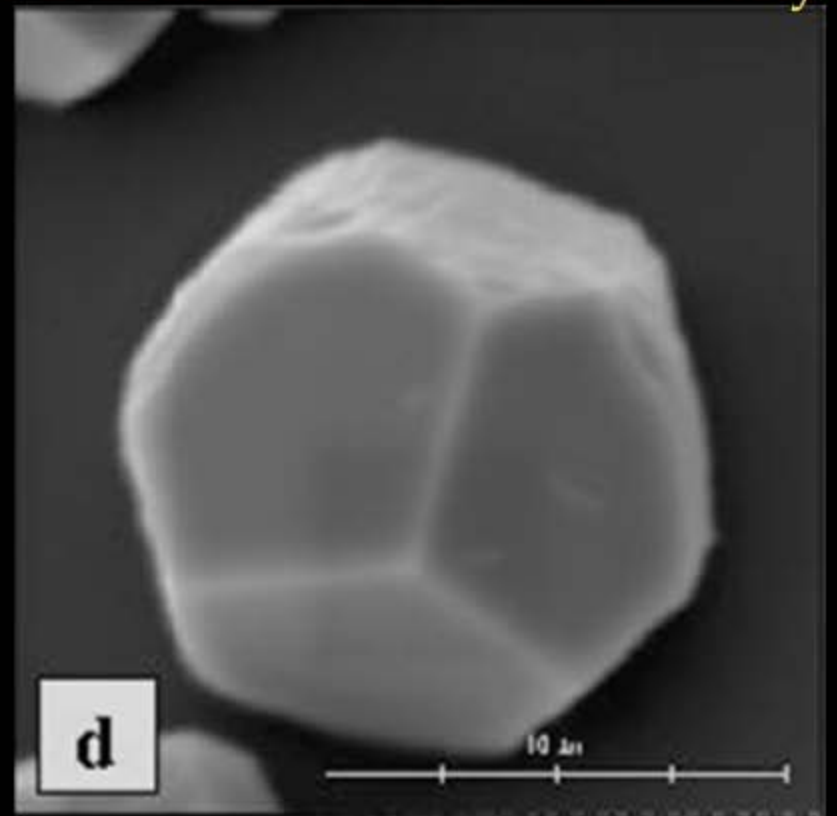
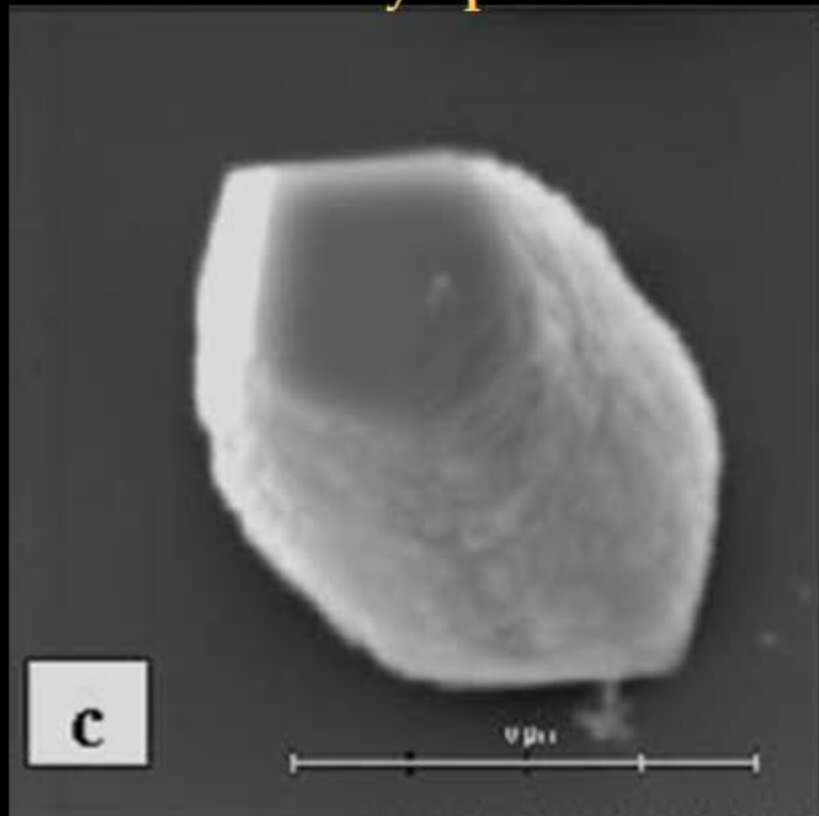
Laboratorio de Física no Lineal,  
Universidad de Santiago de Chile.

# Motivación

## Effect of Sulfate Content of Biomacromolecules on the Crystallization of Calcium Carbonate

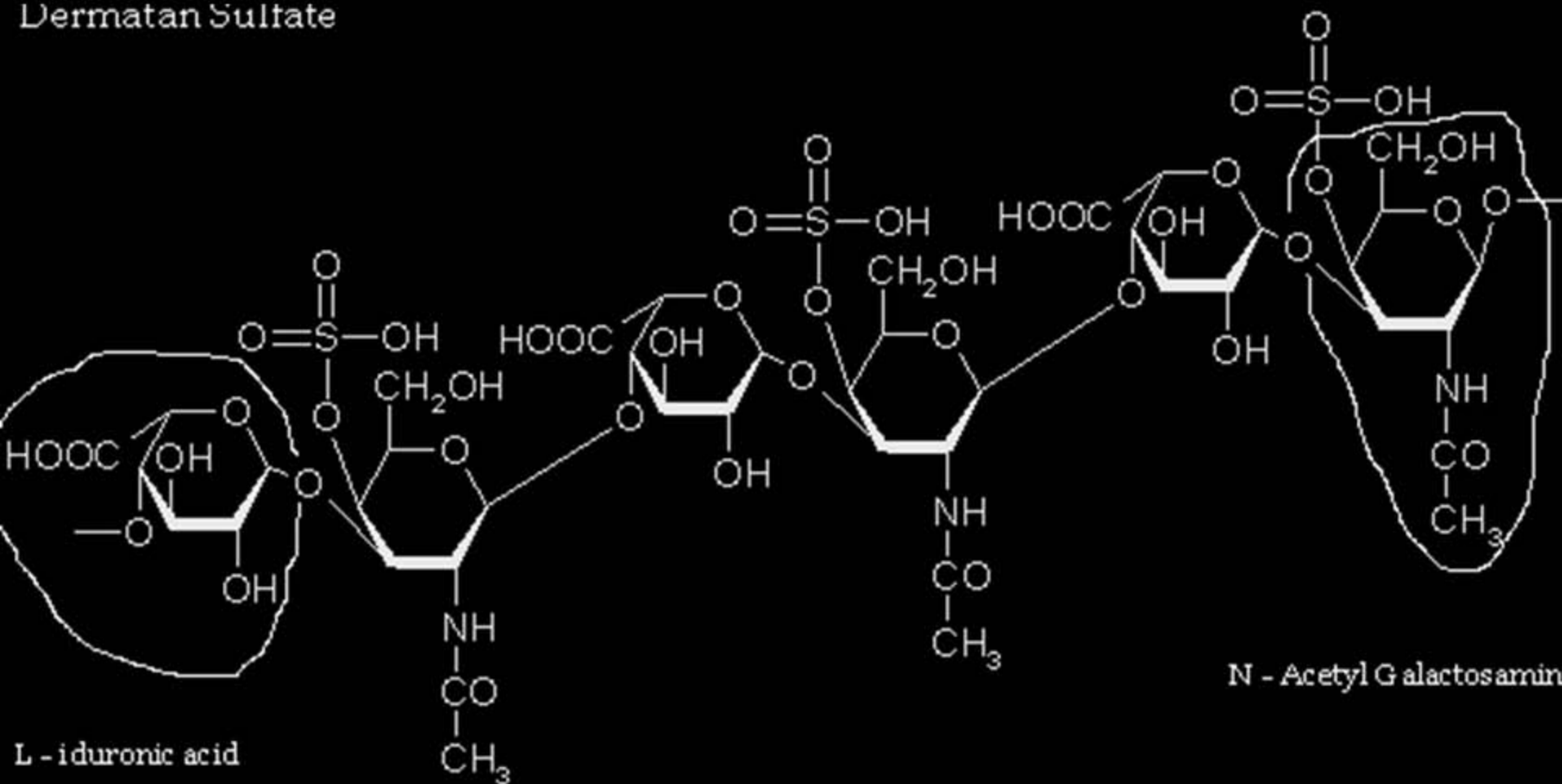
José I. Arias, Carolina Jure, Juan P. Wiff, María S. Fernández, Víctor Fuenzalida and José L. Arias

Mat. Res. Soc. Symp. Proc. Vol. 711 © 2002 Materials Research Society

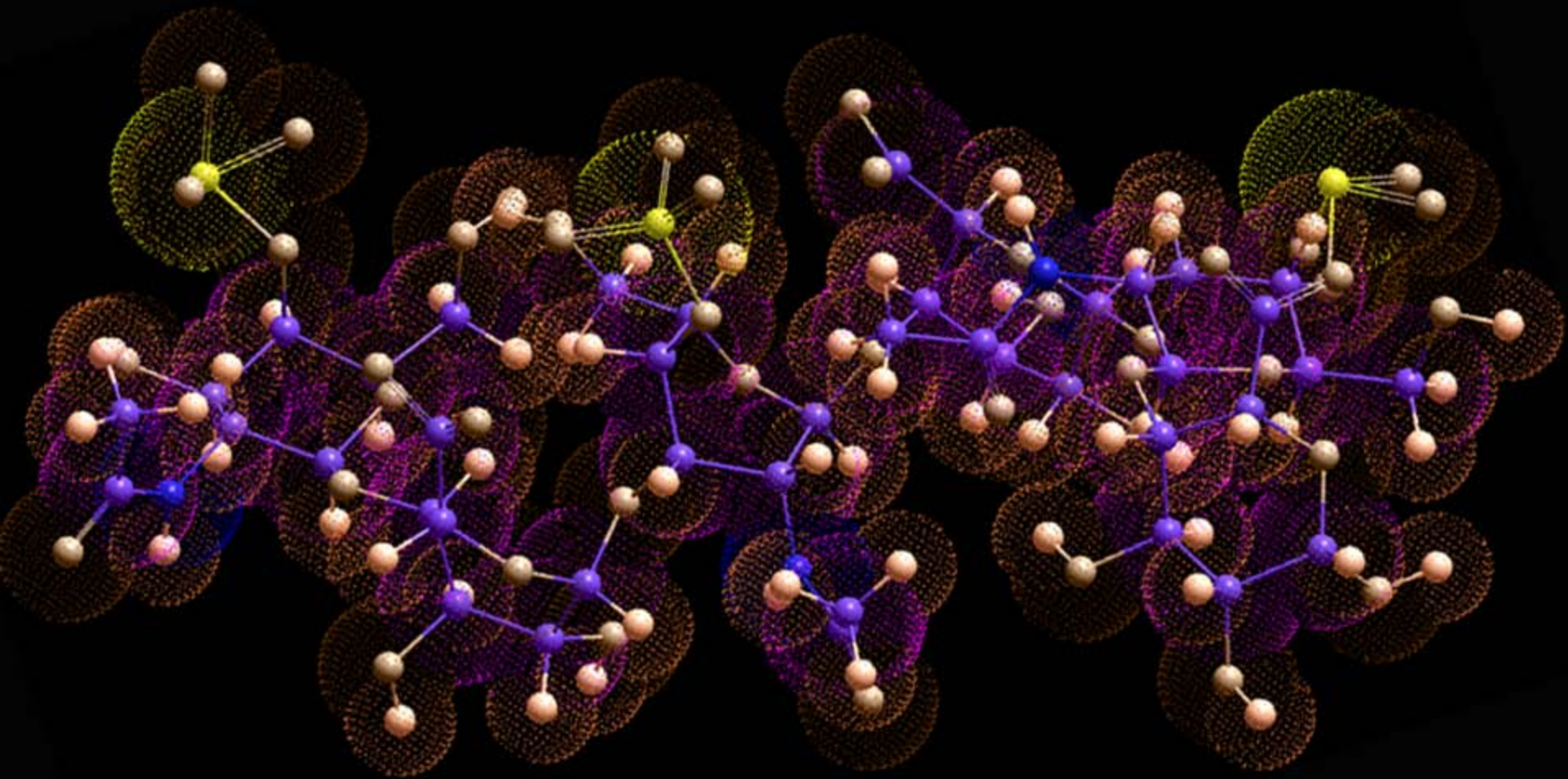


# dermatan sulfato

Dermatan Sulfate



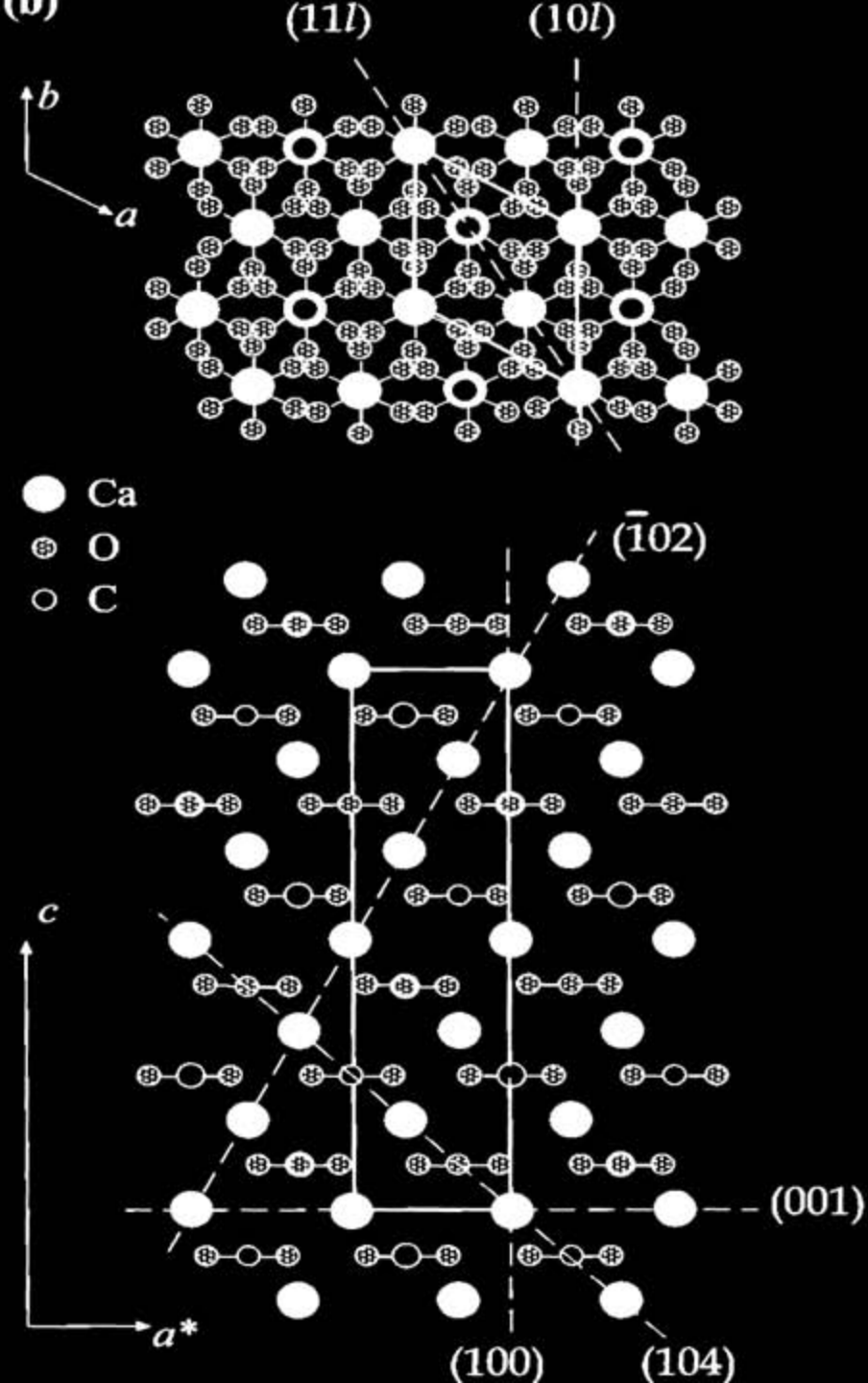
# dermatan sulfato



# Calcita



*J. Am. Chem. Soc.* 1999, 121, 4500-4509



# Estrategia experimental

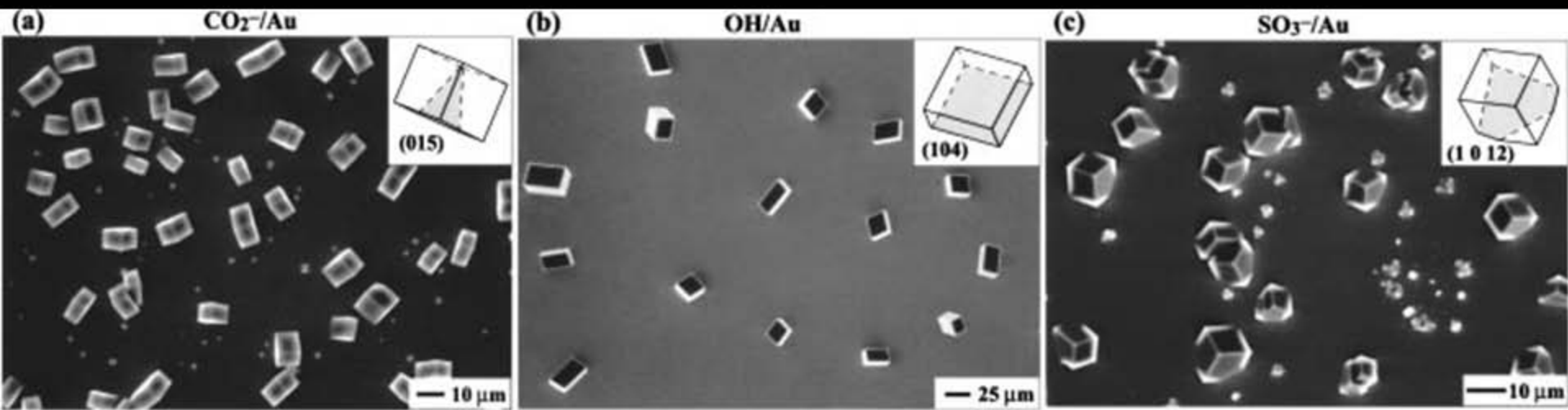
Se investiga la relación entre el cristal iónico calcita romboédrica y el oligosacárido polianiónico dermatan sulfato, ambos presentes en la cáscara de huevo de las aves.

Exp.1: Para saber como DS se coordina sobre la superficie de los cristales de calcita, se hizo y caracterizó sustrato de DS, para sobre este realizar un proceso de nucleación de cristales de carbonato de calcio.

Exp.2: Estudio *in-situ* de la adición de DS al crecimiento cristalino de una dislocación helicoidal observada en el plano  $\langle 104 \rangle$  de la calcita romboédrica mediante AFM en modo contacto para medio líquido....

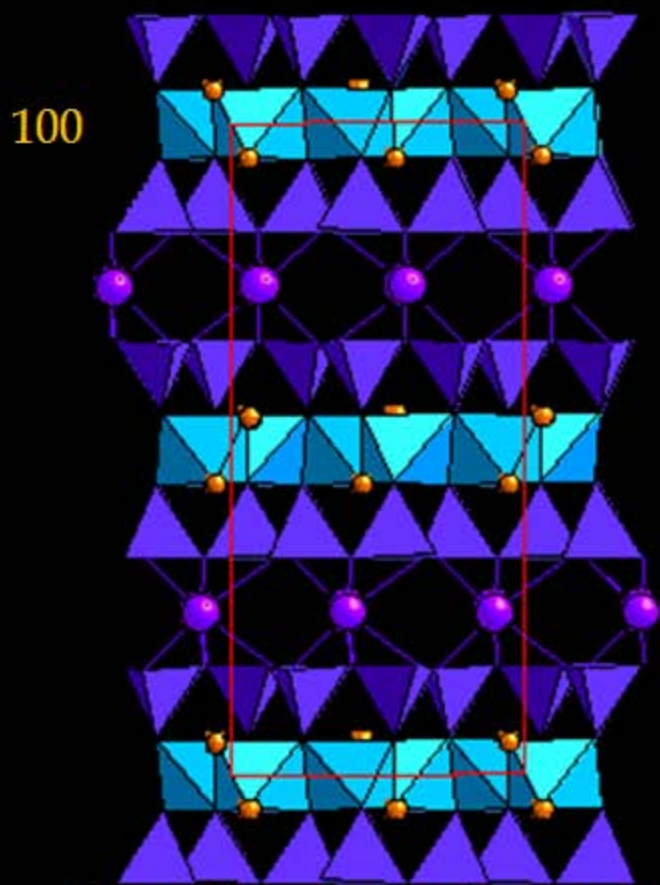
# Motivación Exp1: Oriented Growth of Calcite Controlled by Self-Assembled Monolayers of Functionalized Alkanethiols Supported on Gold and Silver

Joanna Aizenberg,<sup>\*,†</sup> Andrew J. Black,<sup>‡</sup> and George M. Whitesides<sup>\*,‡</sup>

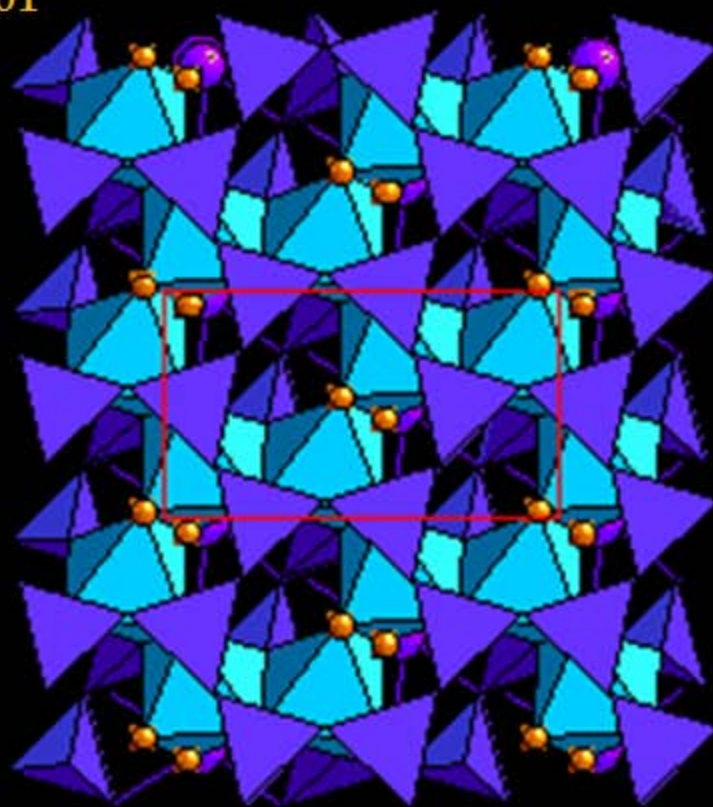


# Sustrato

- Mica + 3 AminoPropilTriMetoxiSilano + Dermatan Sulfato



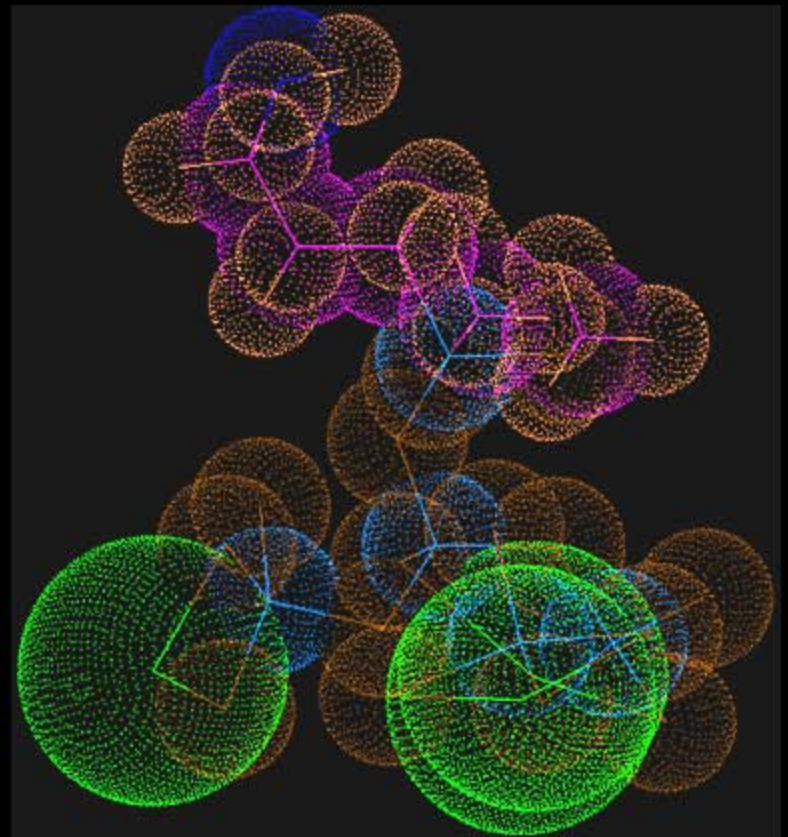
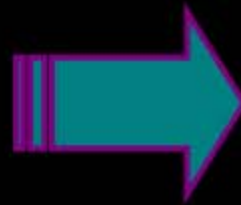
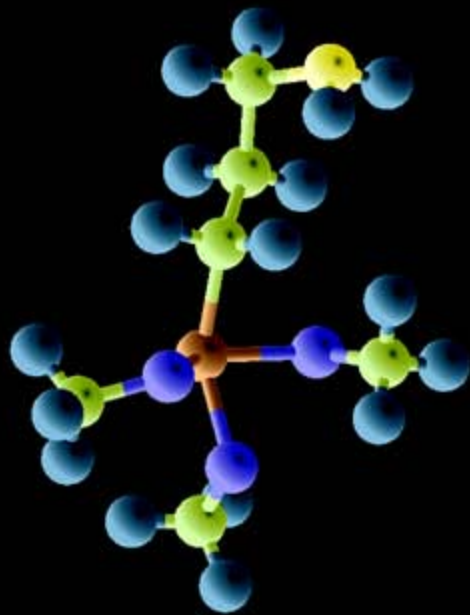
001





# Sustrato

- Mica + 3 AminoPropilTriMetoxiSilano + Dermatan Sulfato

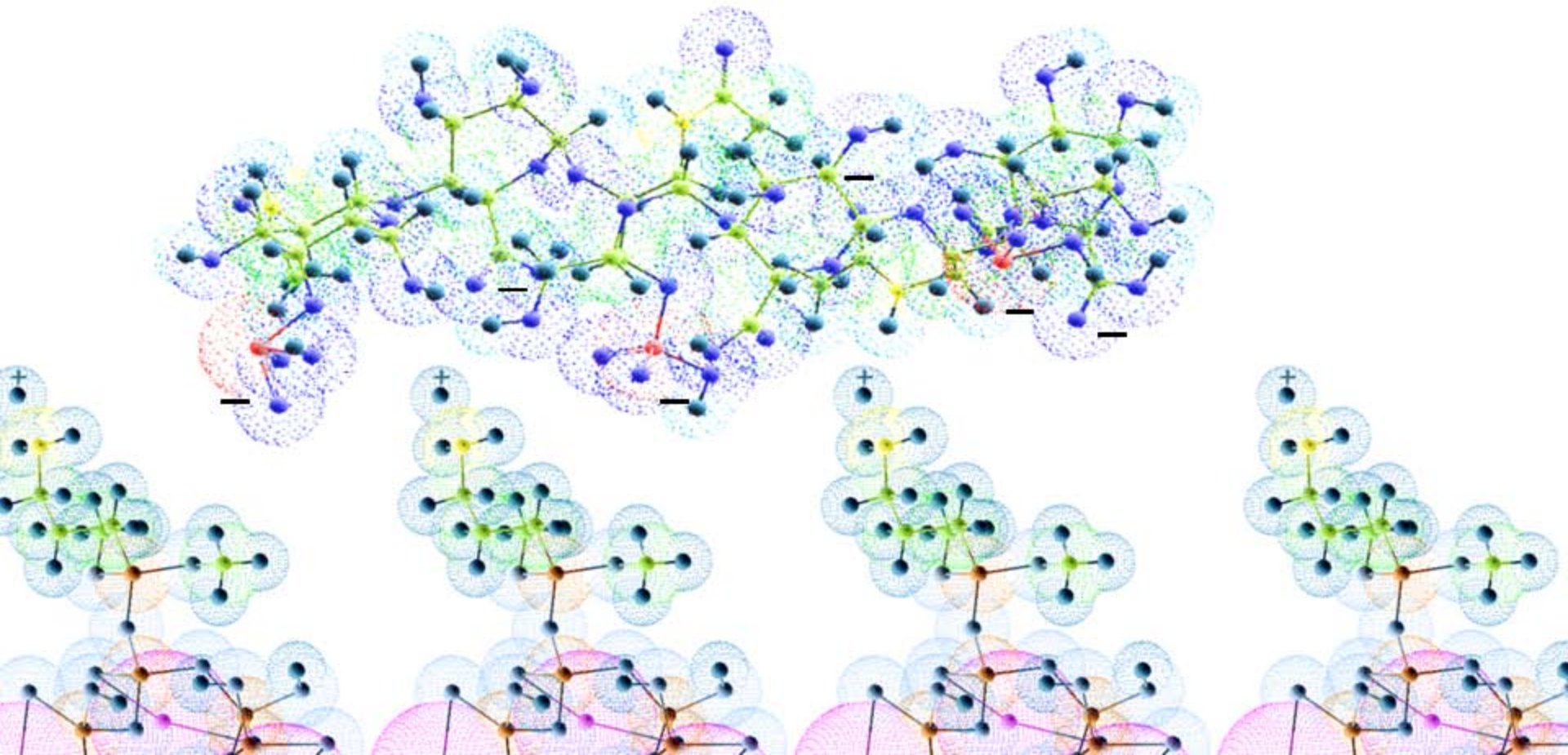


(APTMS)

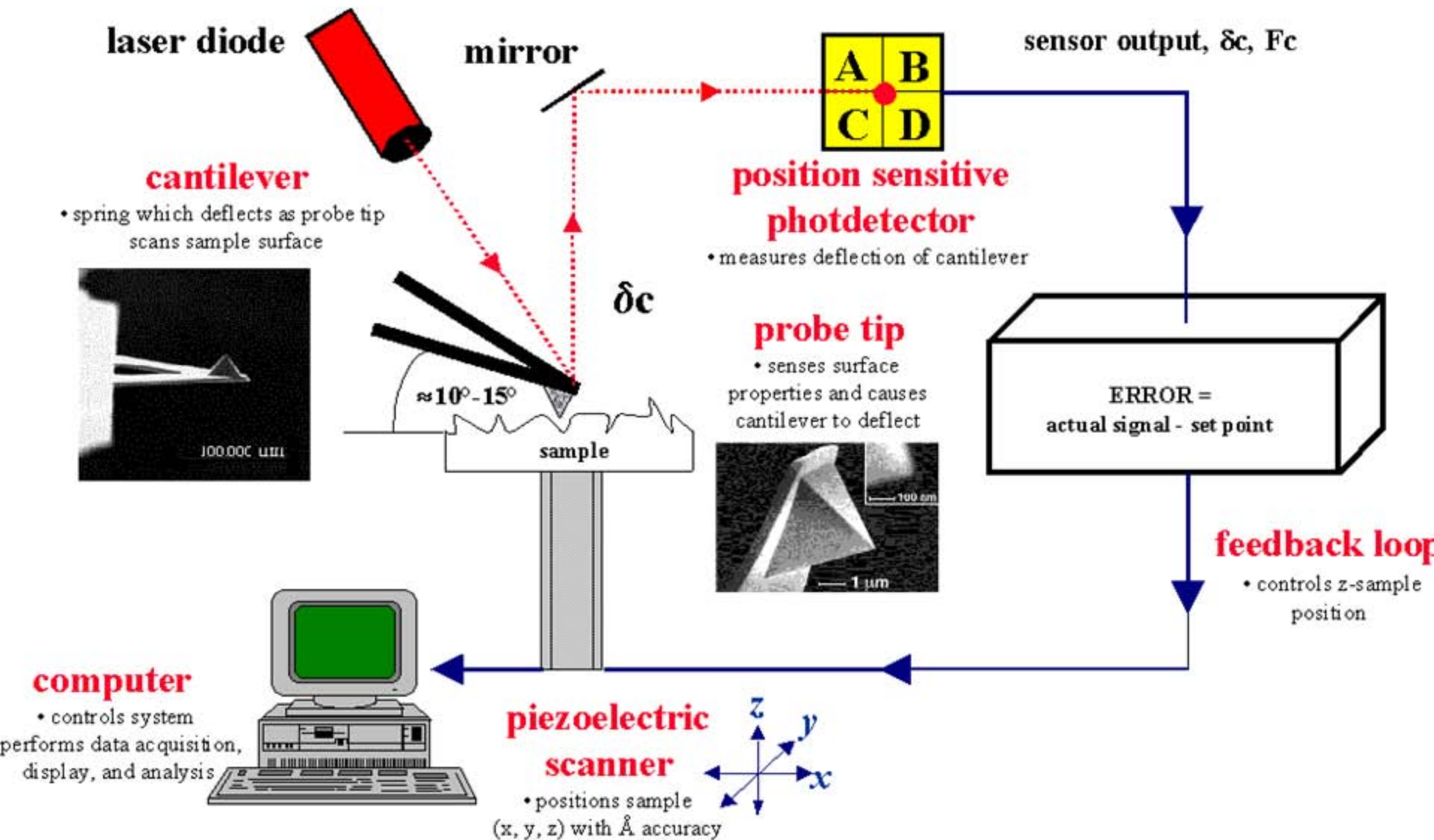


# Sustrato

- Mica + 3 AminoPropilTriMetoxiSilano + Dermatan Sulfato

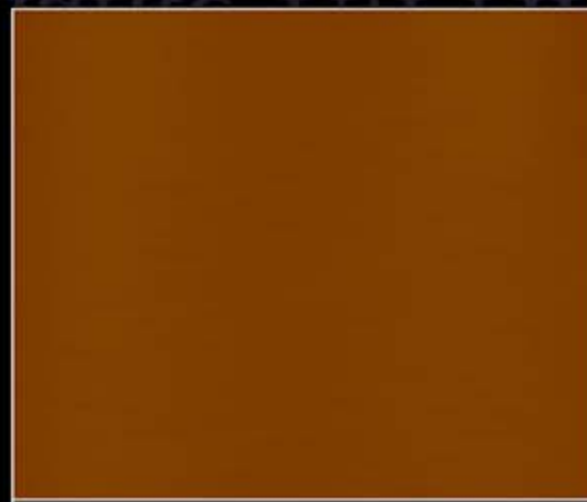
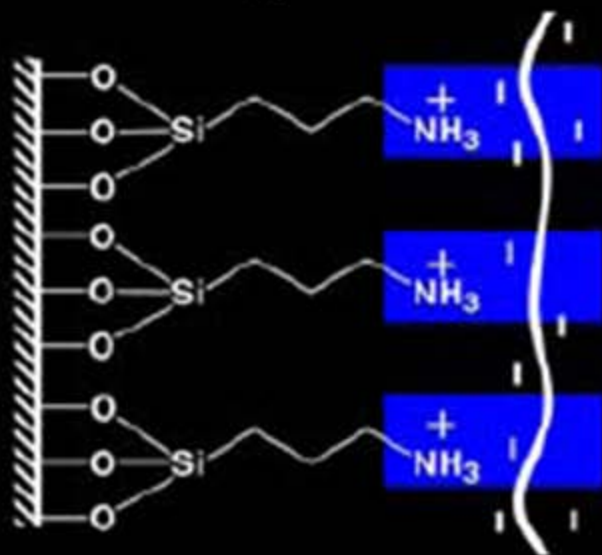


# Atomic Force Microscopy (AFM) : General Components and Their Functions



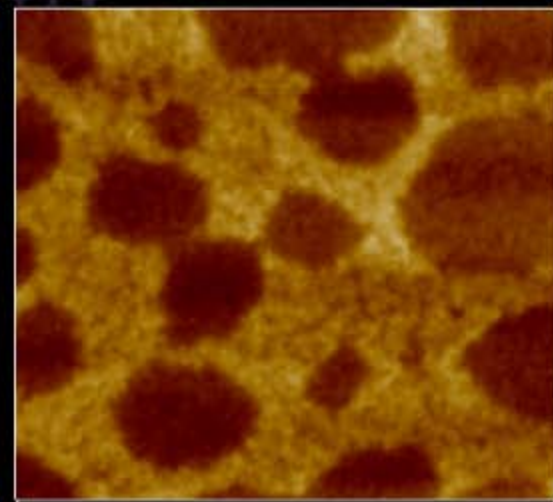
# Caracterización del sustrato mediante TM-AFM

mica-aptms-ds



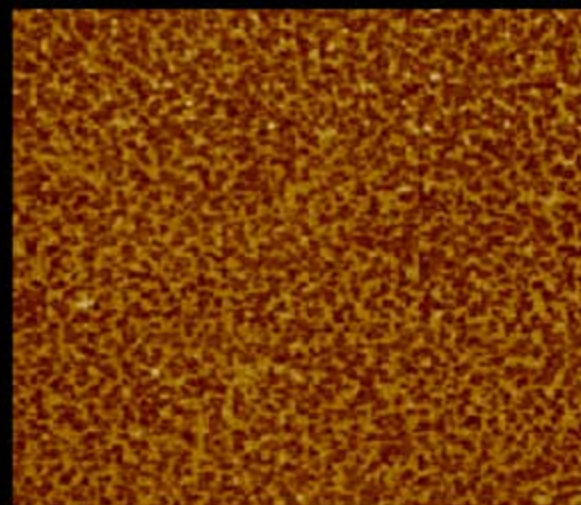
Mica

1.00 μm



Mica+APTMS

1.00 μm



0

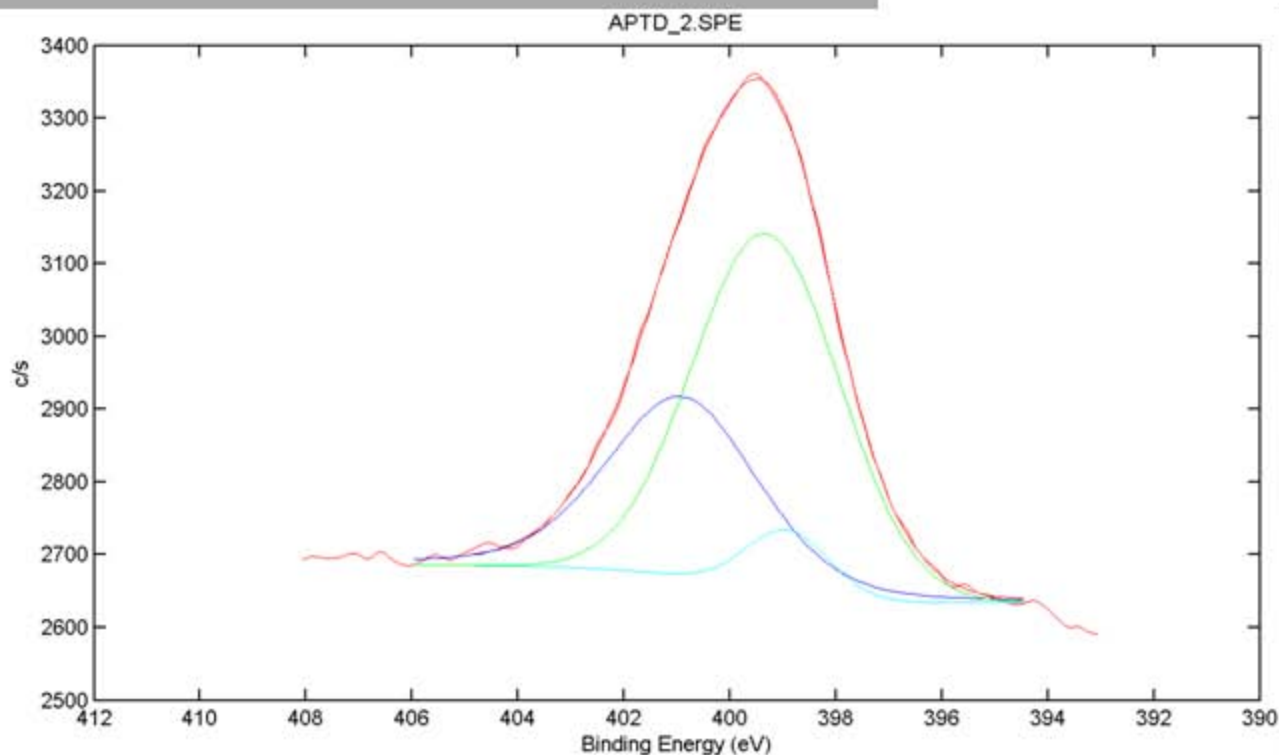
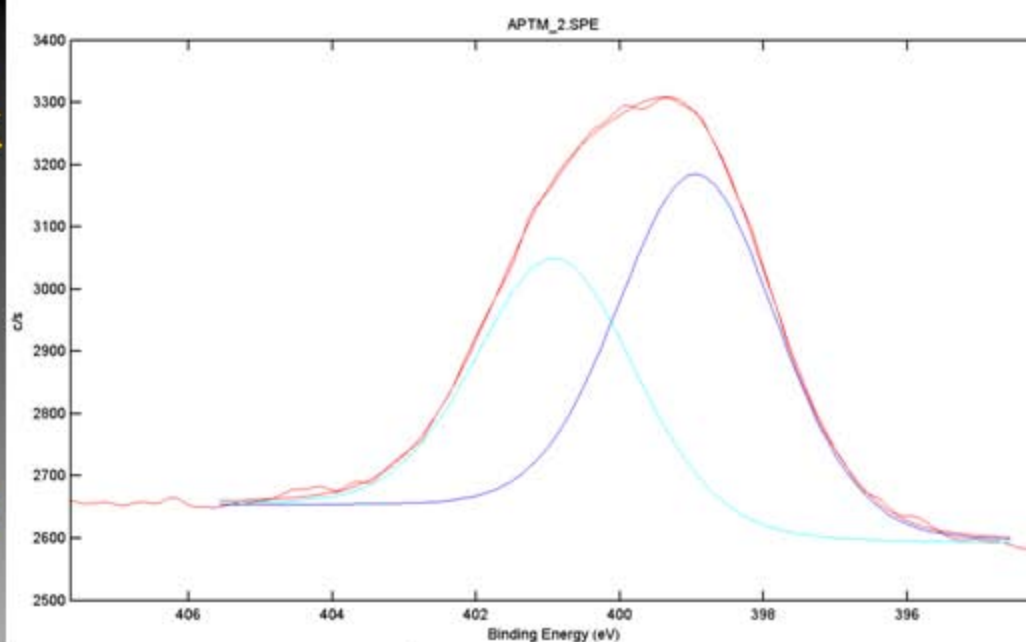
1.00 μm

Mica+APTMS+DS

# XPS

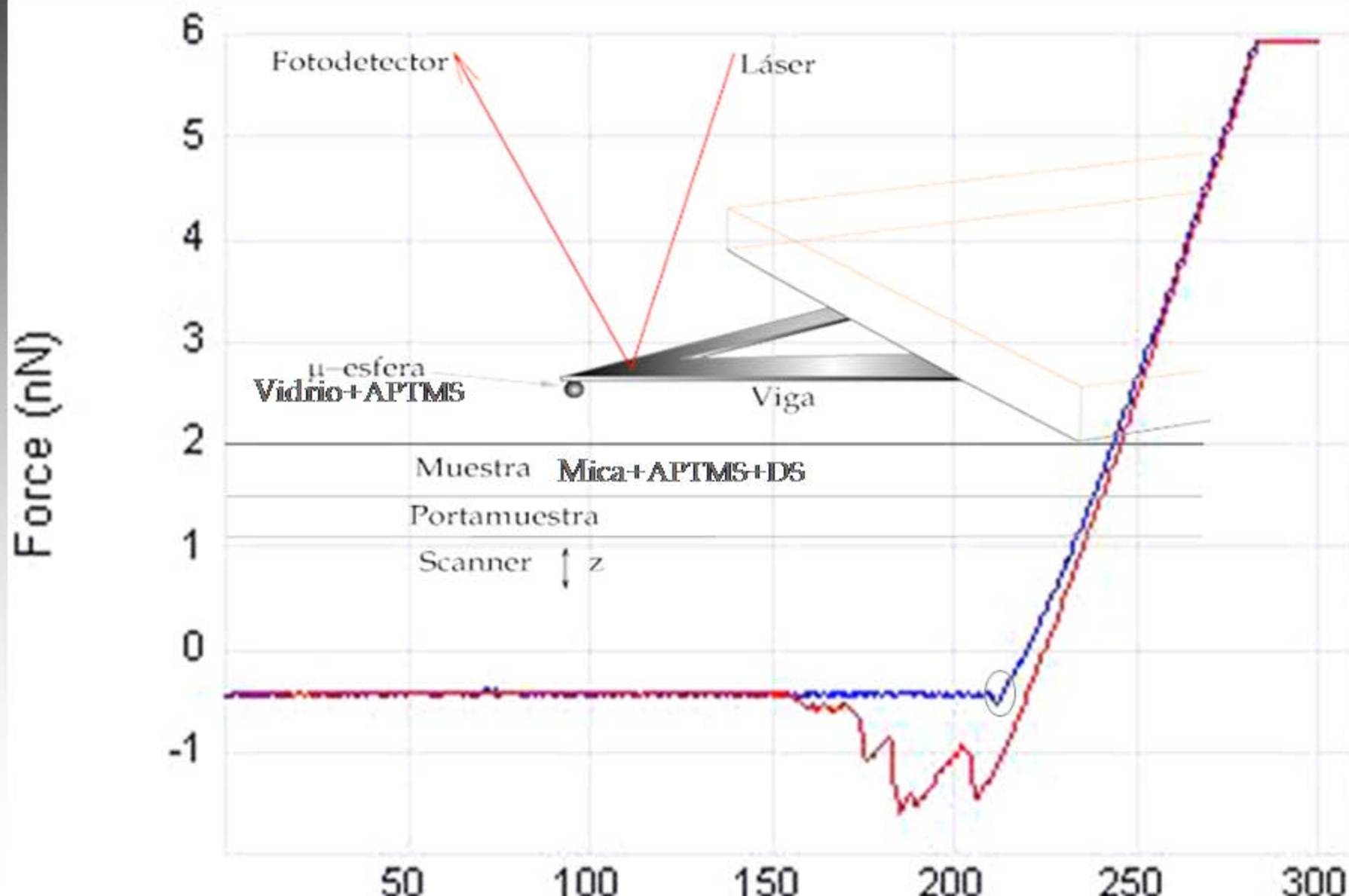
## Boris Chornik

Ajuste del peak del nitrógeno 1s, en sustrato mica+APTMS →



Ajuste del peak del nitrógeno 1s, en sustrato mica+APTMS+DS

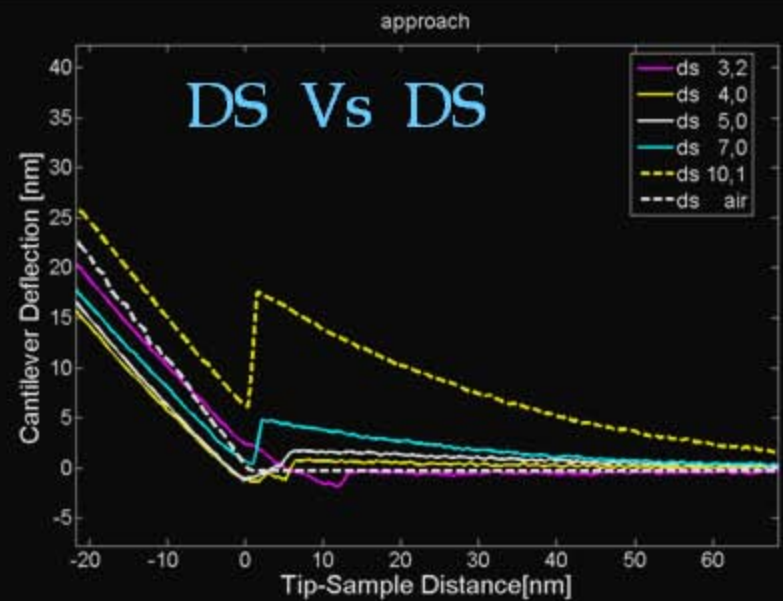
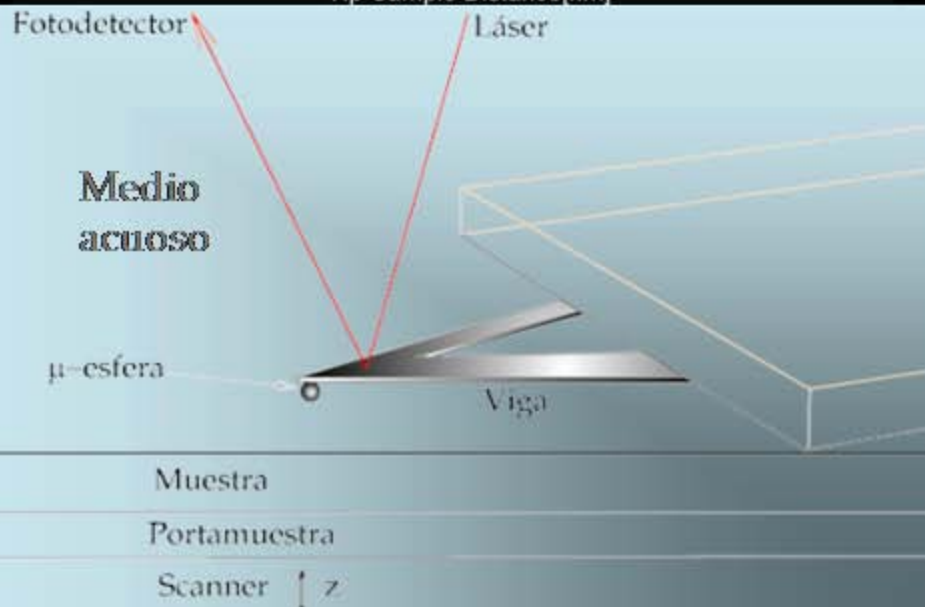
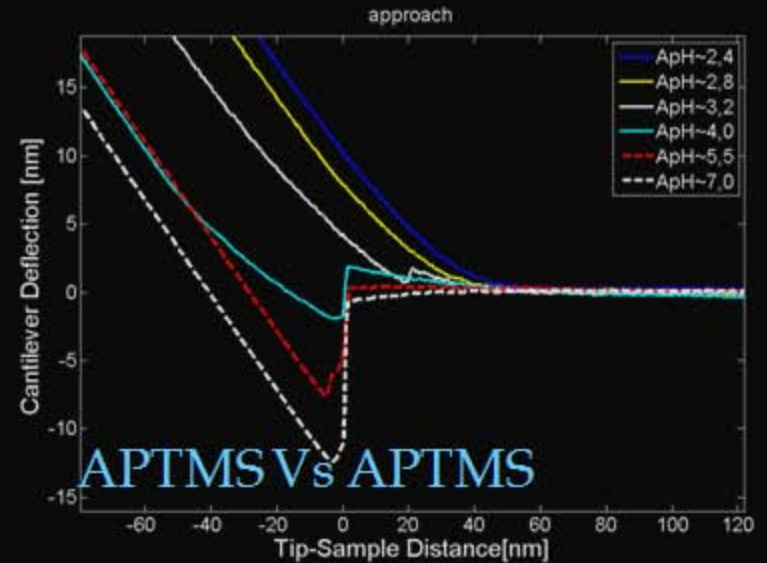
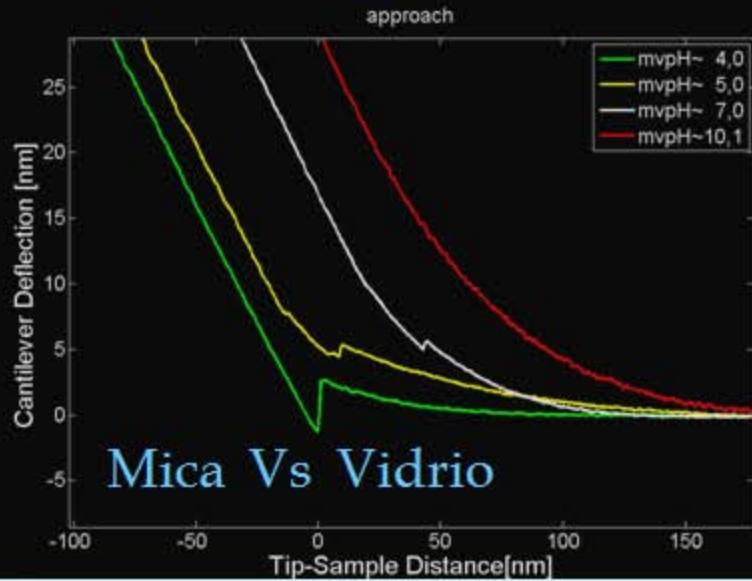
# Espectroscopia de fuerzas



# Reacciones

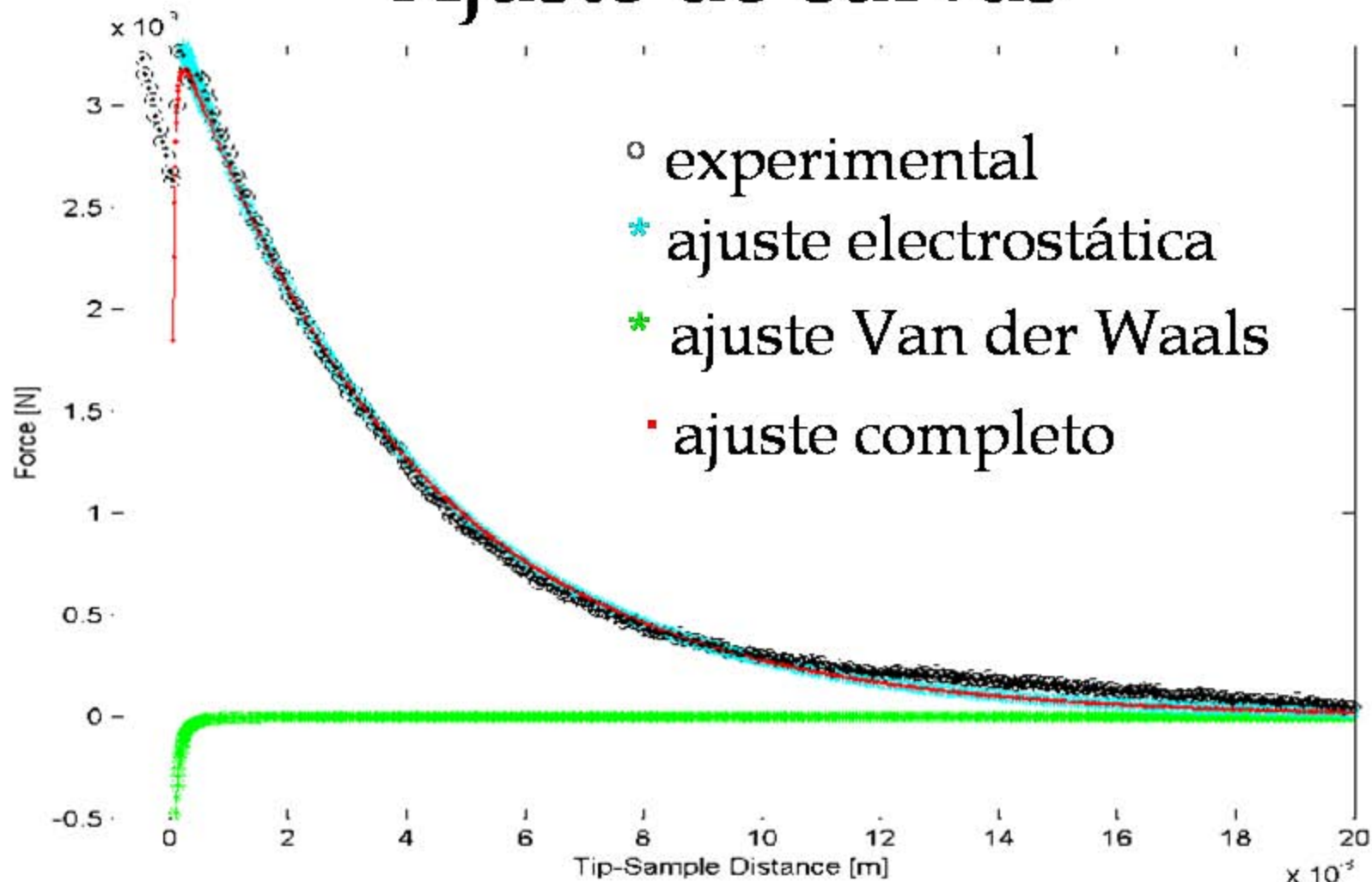
- $2\text{H}_2\text{O} + \text{X-Si}(\text{OH})_2 \leftrightarrow \text{H}_2\text{O} + \text{H}_3\text{O}^+ + \text{X-Si} \begin{matrix} \text{OH} \\ \diagup \\ \text{O}^- \end{matrix} \leftrightarrow 2\text{H}_3\text{O}^+ + \text{X-Si}(\text{O}^-)_2$ , donde X = mica o vidrio
- $\text{H}_2\text{O} + \text{HCl} + \text{R}'\text{-NH}_2 + \text{X-Si}(\text{OH})_2 \leftrightarrow \text{H}_2\text{O} + \text{Cl}^- + \text{R}'\text{-NH}_3^+ + \text{X-Si}(\text{OH})_2$
- $\text{H}_2\text{O} + 2\text{NaOH} + \text{R}'\text{-NH}_3^+ + \text{X-Si}(\text{OH})_2 \leftrightarrow 2\text{Na}^+ + 3\text{H}_2\text{O} + \text{R}'\text{-NH}_2 + \text{X-Si}(\text{O}^-)_2$
- $\text{R}''\text{-COOH} + \text{H}_2\text{O} \leftrightarrow \text{R}''\text{-COO}^- + \text{H}_3\text{O}^+$
- $\text{R}'''\text{-SO}_2\text{OH} + \text{H}_2\text{O} \leftrightarrow \text{R}'''\text{-SO}_3^- + \text{H}_3\text{O}^+$

# Espectroscopia de fuerzas





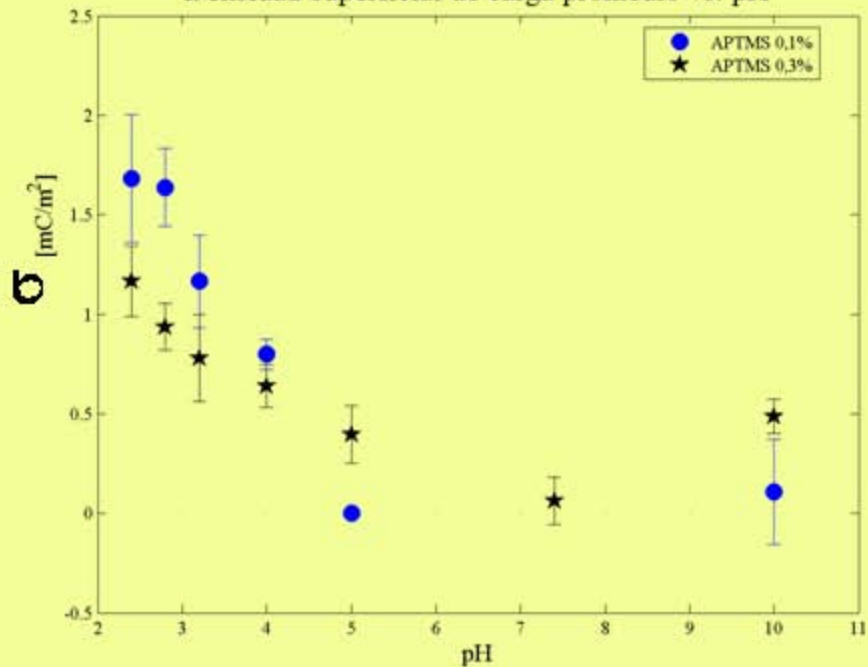
# Ajuste de curvas



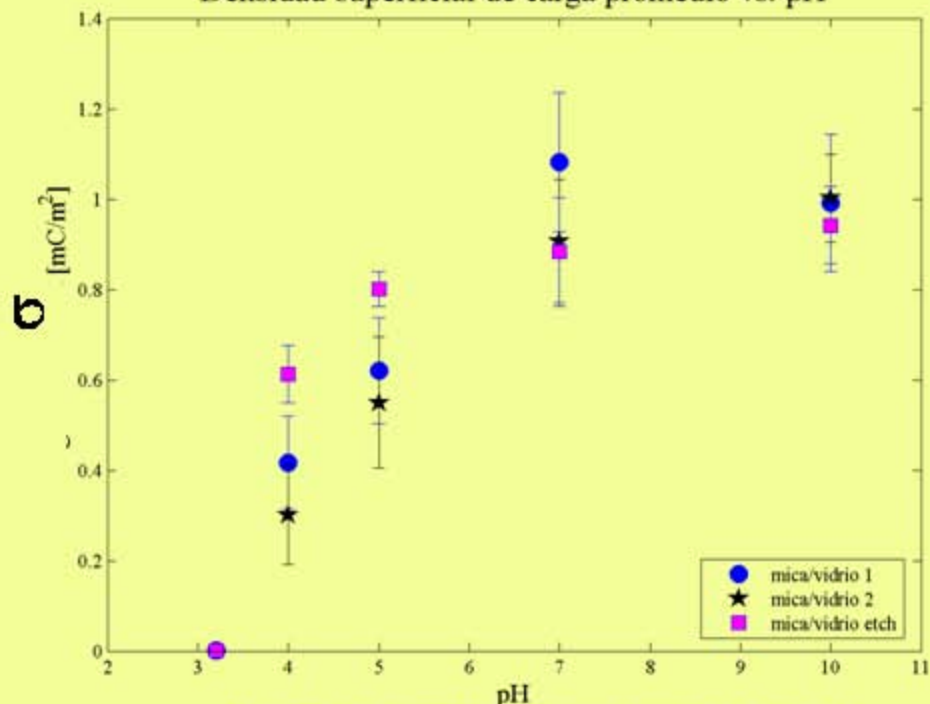
$$F = F_{Elec} + F_{VdW} + F_{Elas} = \frac{4\pi \cdot R \cdot \sigma_1 \cdot \sigma_2 \cdot \lambda}{\epsilon \cdot \epsilon_0} \cdot e^{-D/\lambda} - \frac{A \cdot R}{D^2} + k(D - z) = 0$$

# Fuerza electrostática

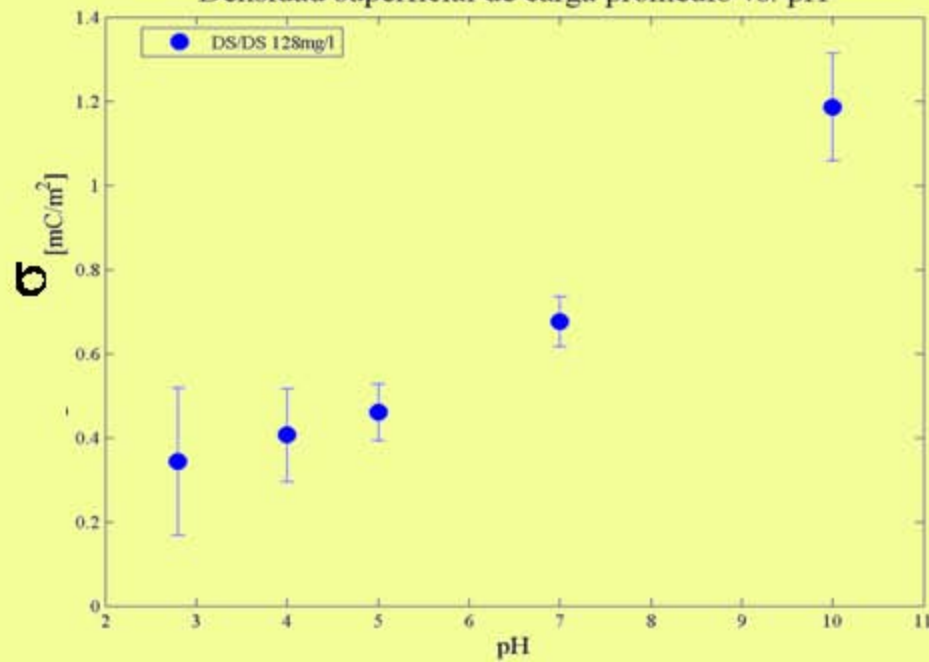
Densidad superficial de carga promedio vs. pH



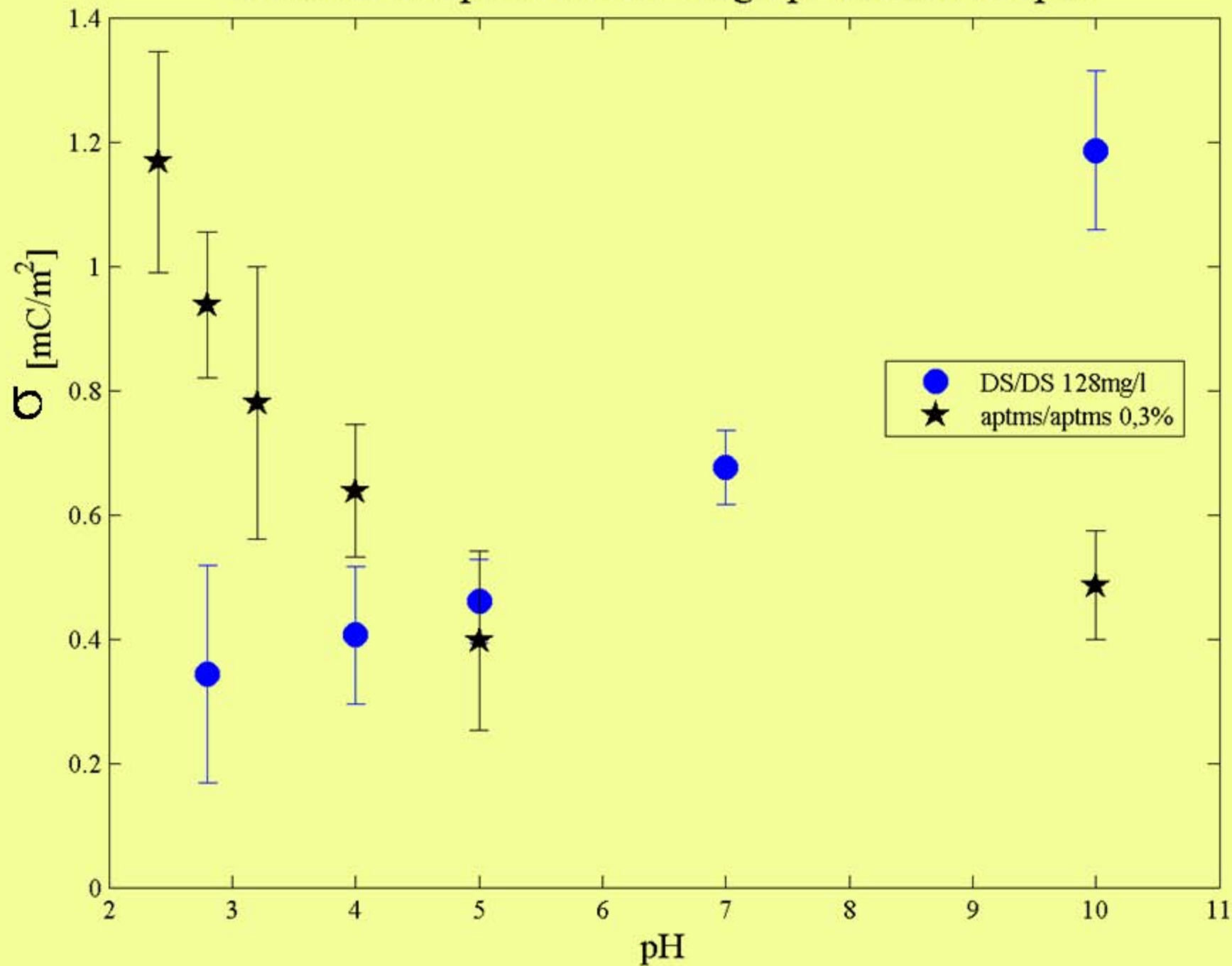
Densidad superficial de carga promedio vs. pH



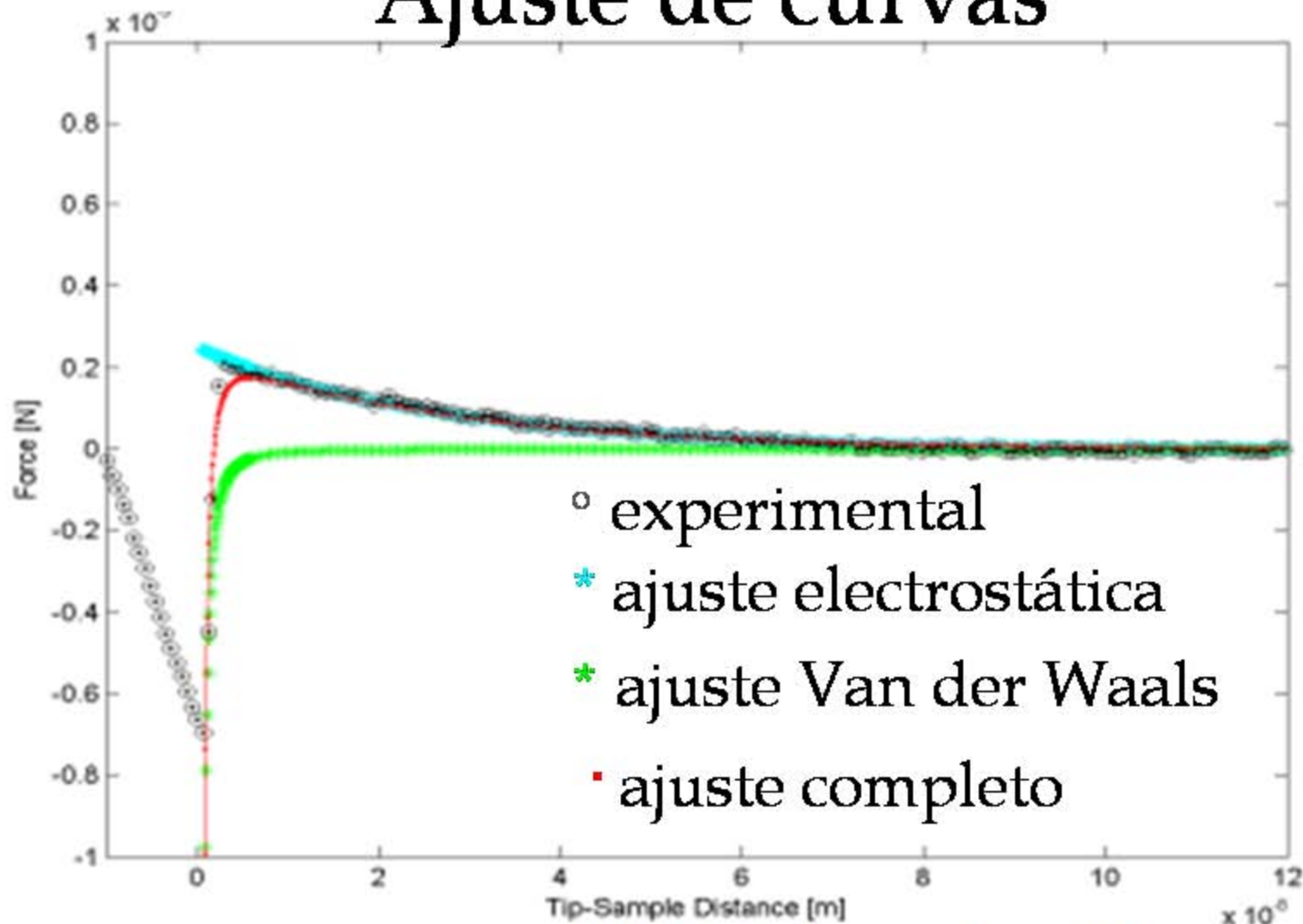
Densidad superficial de carga promedio vs. pH



Densidad superficial de carga promedio vs. pH



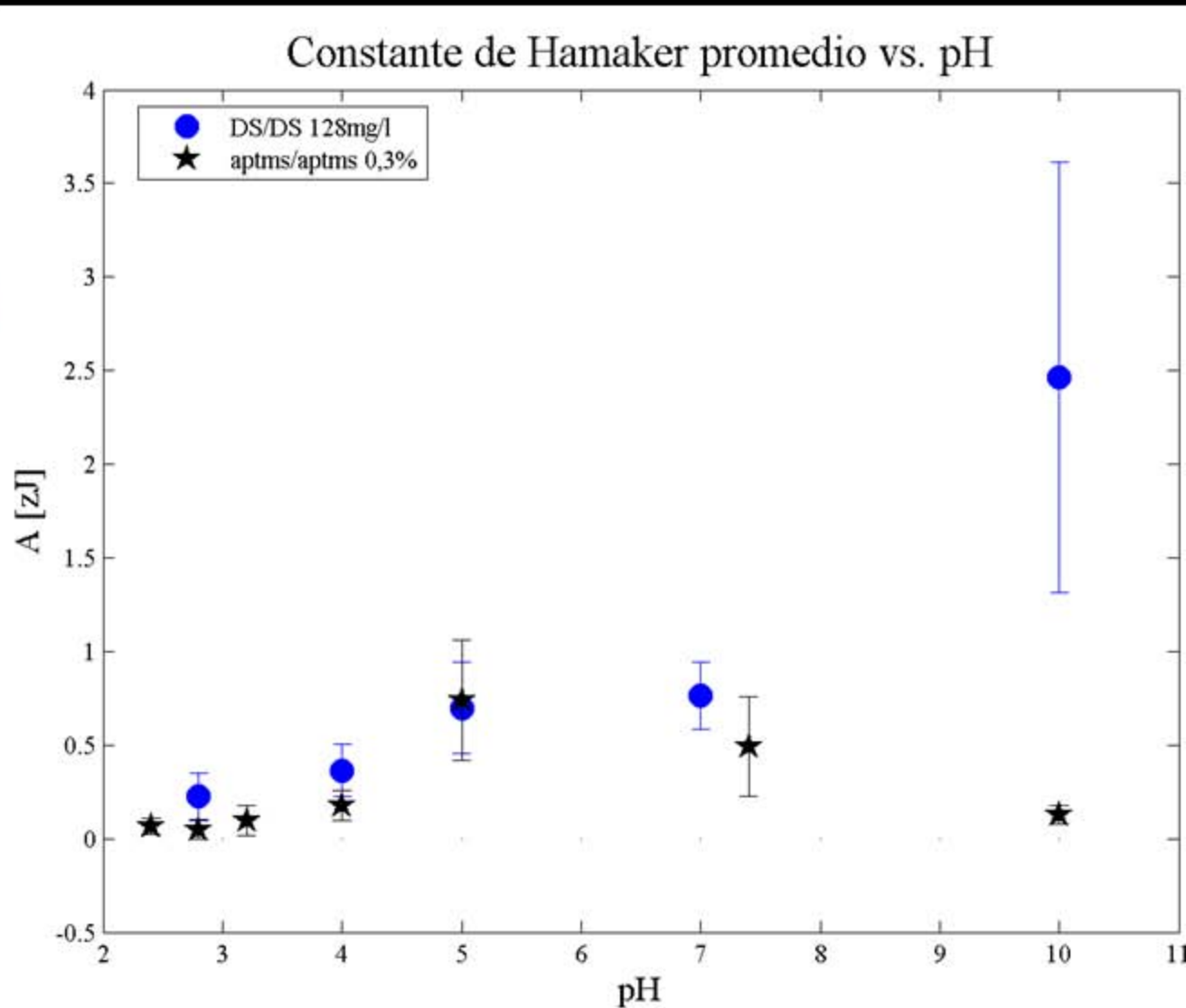
# Ajuste de curvas



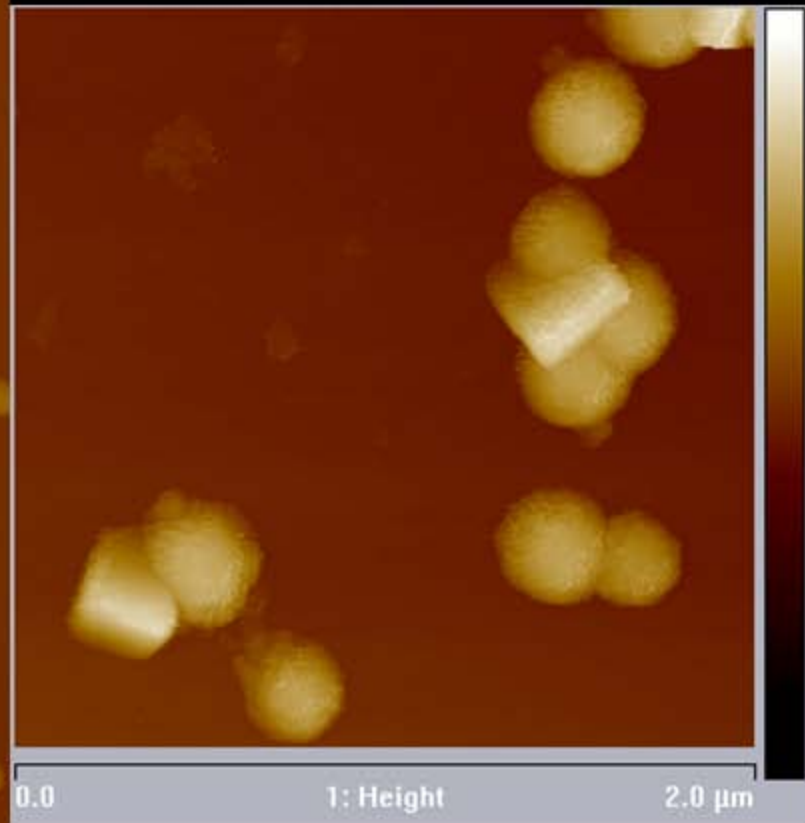
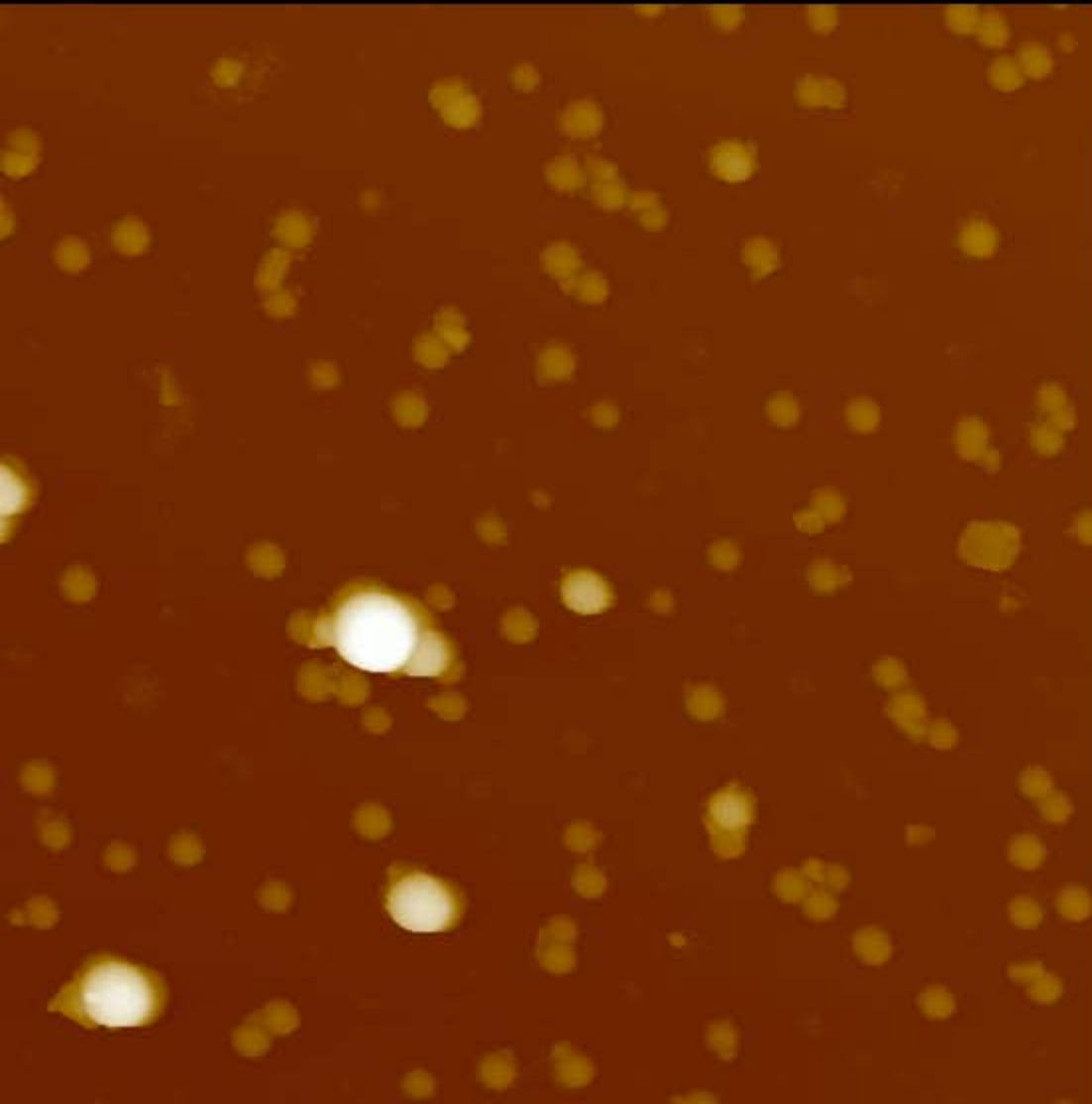
$$F = F_{Elec} + F_{VdW} + F_{Elas} = \frac{4\pi \cdot R \cdot \sigma_1 \cdot \sigma_2 \cdot \lambda}{\epsilon \cdot \epsilon_0} \cdot e^{-D/\lambda} - \frac{\mathcal{A} \cdot R}{D^2} + k(D - z) = 0$$

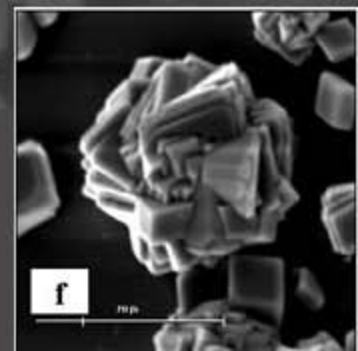
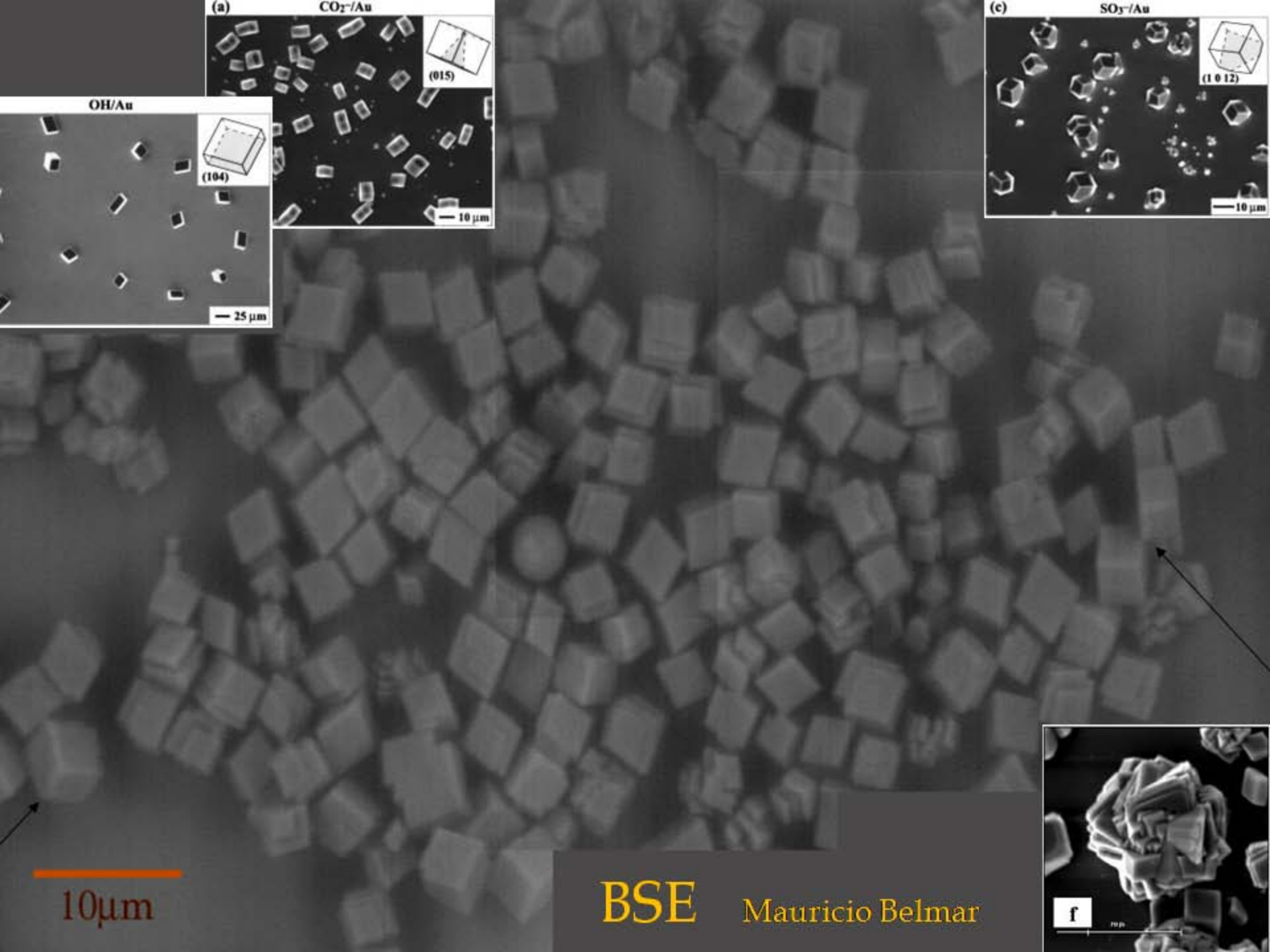
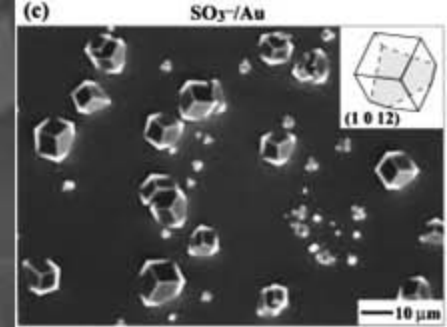
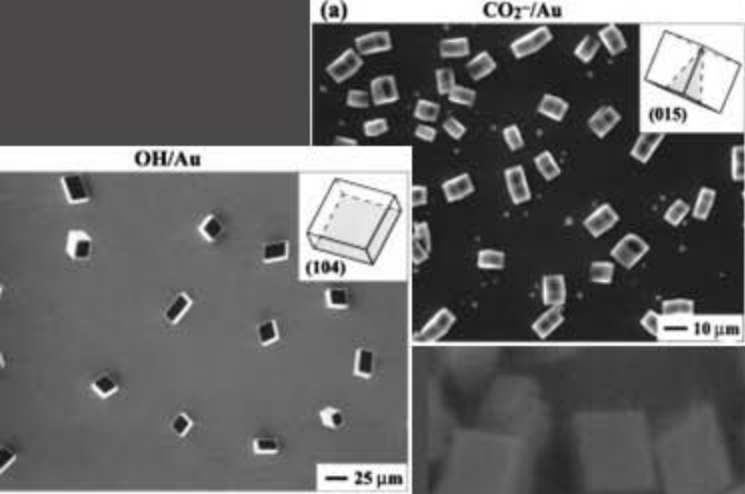
# Van der Waals

$$A = \pi^2 C \rho_1 \rho_2$$



# AFM *in-situ*: nucleación





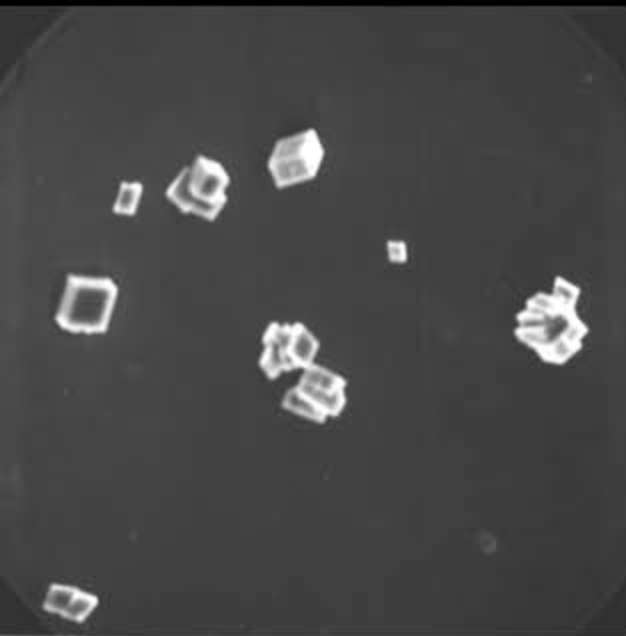
**BSE** Mauricio Belmar

# Cristales nucleados sobre diferentes superficies

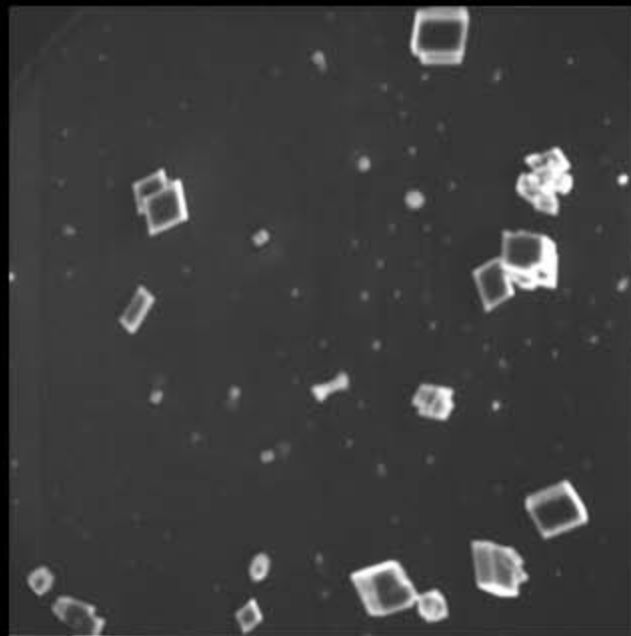
SEM

Jaime Bravo

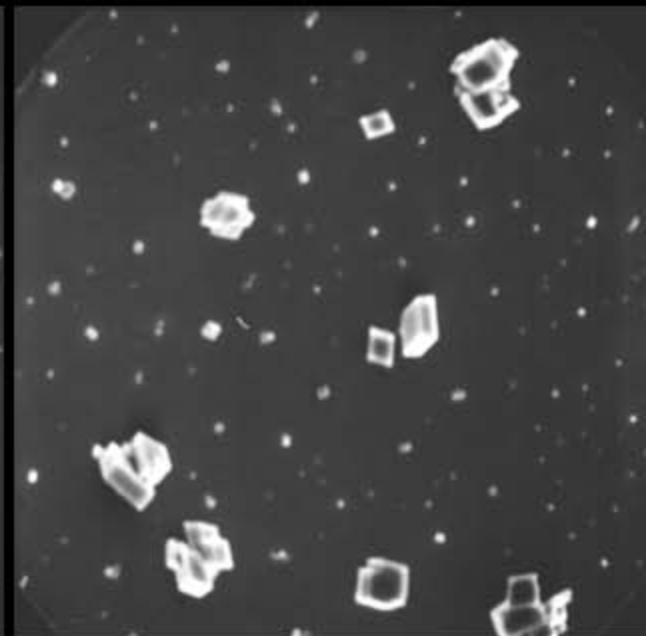
Mica



APTMS



DS



40μm



# Estrategia experimental

Se investiga la relación entre el cristal iónico calcita romboédrica y el oligosacárido polianiónico dermatan sulfato, ambos presentes en la cáscara de huevo de las aves.

Exp.1: Para saber como DS se coordina sobre la superficie de los cristales de calcita, se hizo y caracterizó sustrato de DS, para sobre este realizar un proceso de nucleación de cristales de carbonato de calcio.

Exp.2: Estudio *in-situ* de la adición de DS al crecimiento cristalino de una dislocación helicoidal observada en el plano  $\langle 104 \rangle$  de la calcita romboédrica mediante AFM en modo contacto para medio líquido....

# Formation of chiral morphologies through selective binding of amino acids to calcite surface steps

C.A. Orme<sup>\*</sup>, A. Noy<sup>\*</sup>, A. Wierzbicki<sup>2</sup>, M. T. McBride<sup>\*</sup>,  
M. Grantham<sup>3</sup>, H.H. Teng<sup>§</sup>, P.M. Dove<sup>3</sup> & J.J. DeYoreo<sup>\*</sup>

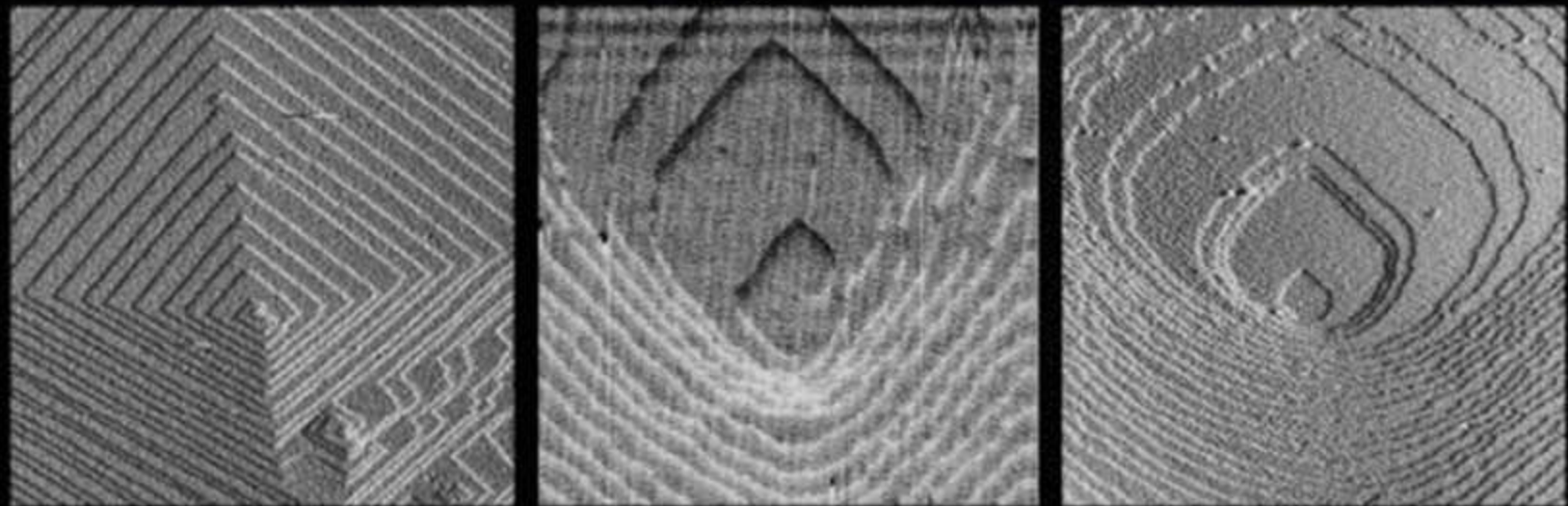


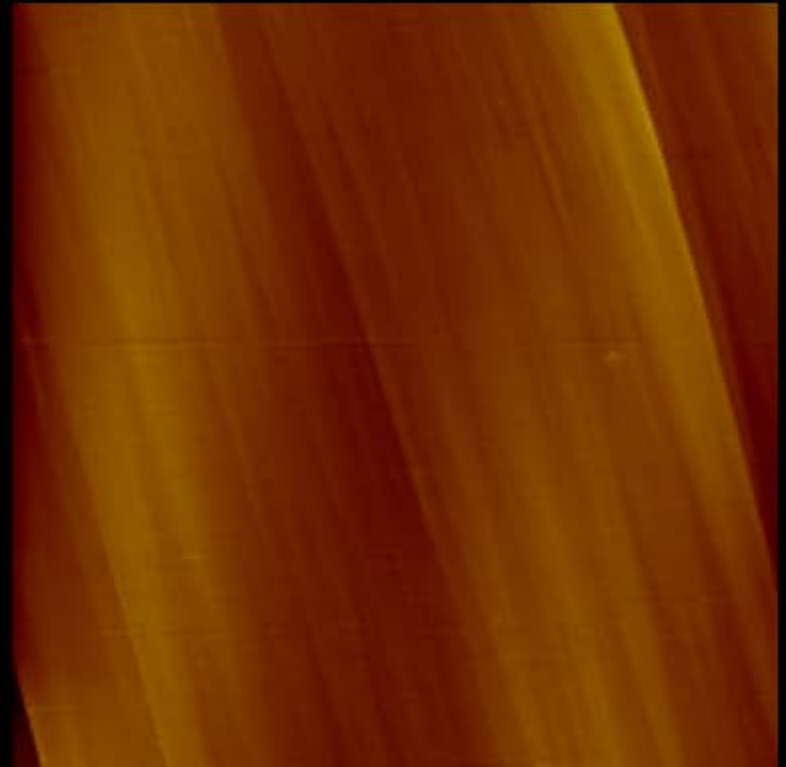
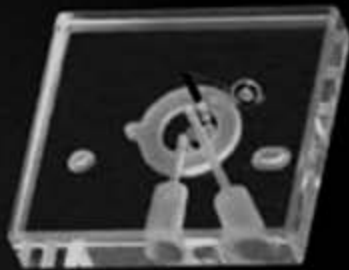
Figure 1 Images showing the effect of amino acids on calcite morphology. a-c, AFM images showing the effect of amino acids on growth-hillock and dissolution-pit geometry. a, A pure calcite growth hillock. b, Growth hillocks following addition of supersaturated solutions with 0.01M glycine, an achiral amino acid (b); 0.01M L-aspartic acid (c);

# Clivaje de la calcita

Elección del plano

Tamaño de la muestra

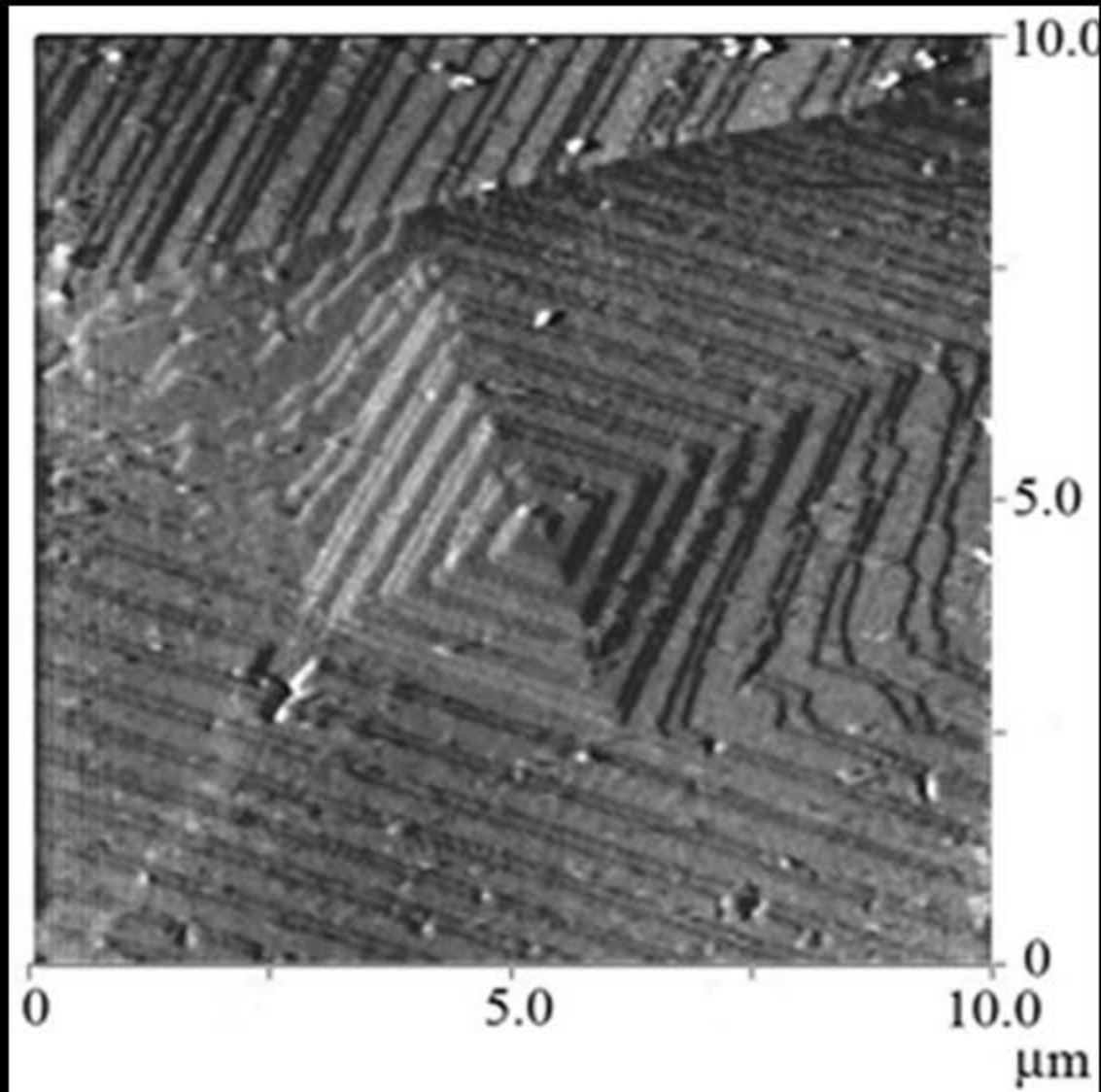
Limpieza y frescura de la superficie



# Seguimiento con AFM *in-situ*

Crecimiento de calcita, solución sobresaturada de  $\text{CaCl}_2$ ,  $\text{NaHCO}_3$  y  $\text{NaCl}$

Crecimiento cristalino de una dislocación helicoidal normal al plano  $\langle 104 \rangle$  de calcita romboédrica



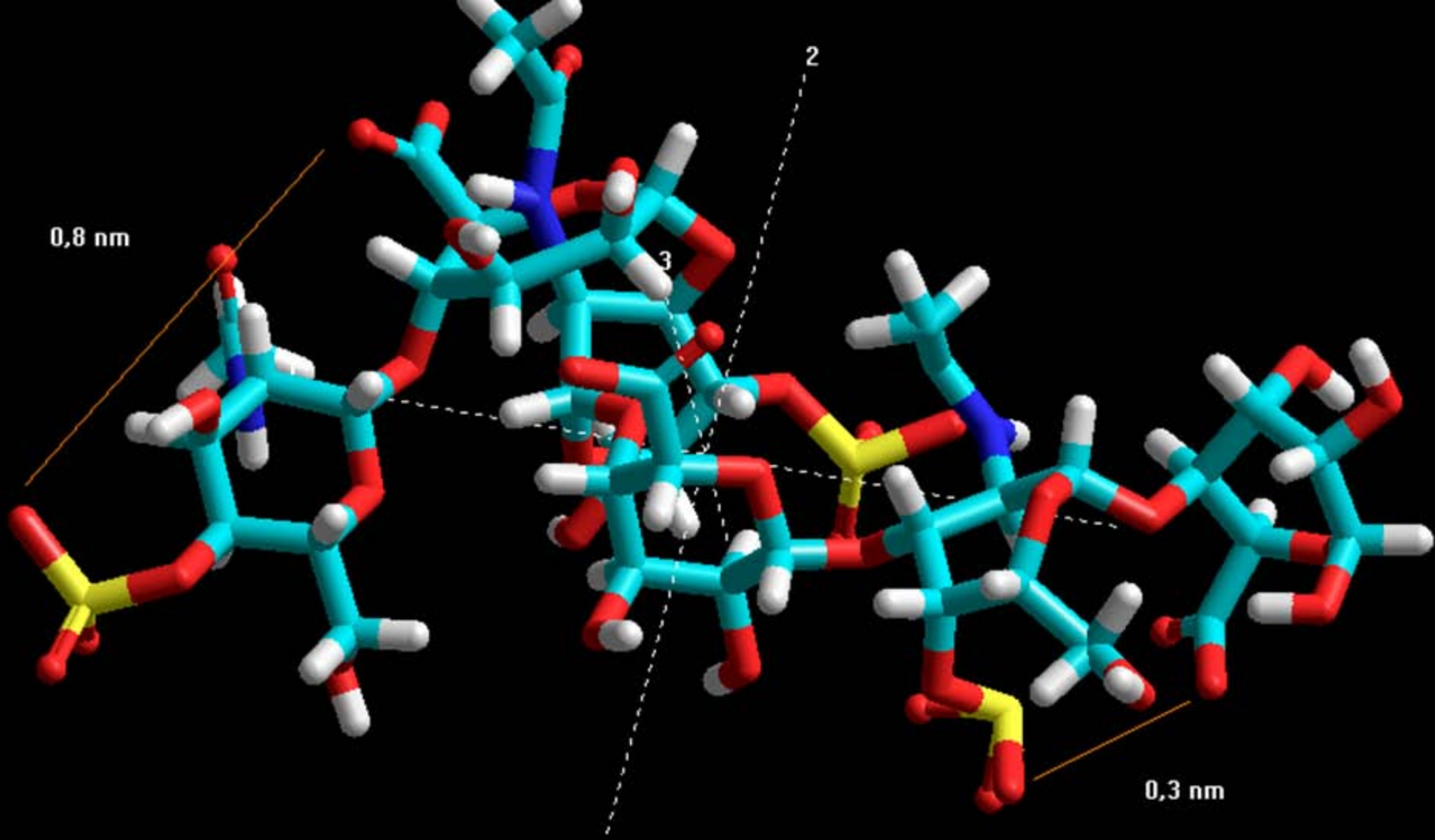
# Adición de DS a la calcita

Se requiere comparar las dimensiones de los sitios donde se localizaría preferentemente el DS, teniendo en cuenta el tamaño y espaciamiento entre cargas en el DS y en la superficie de calcita en sus distintos planos.

# Espaciamiento de cargas en calcita

TABLE I. Surface energy,  $\gamma^*$ , of vicinal surfaces with monatomic obtuse or acute steps on the cleavage. Step separation,  $d=h/\tan \theta$ , where  $h=0.3$  nm, is the constant monatomic step height and  $\theta$  represents the vicinal angle. Miller indices are specified both in hexagonal notation,  $(h k i l)$ , and in pseudocubic representation,  $(h k l)$ , where the cleavage rhombohedron serves as a nonprimitive unit cell.

| Obtuse step                 |           |                             |             | Surface energy ( $\gamma^*$ )      |                                  | Acute step                  |                      |                             |             | Surface energy ( $\gamma^*$ )      |                                  |
|-----------------------------|-----------|-----------------------------|-------------|------------------------------------|----------------------------------|-----------------------------|----------------------|-----------------------------|-------------|------------------------------------|----------------------------------|
| Vicinal face<br>$(h k i l)$ | $(h k l)$ | Angle ( $\theta$ )<br>(deg) | $d$<br>(nm) | Unrelaxed<br>( $\text{J m}^{-2}$ ) | Relaxed<br>( $\text{J m}^{-2}$ ) | Vicinal face<br>$(h k i l)$ | $(h k l)$            | Angle ( $\theta$ )<br>(deg) | $d$<br>(nm) | Unrelaxed<br>( $\text{J m}^{-2}$ ) | Relaxed<br>( $\text{J m}^{-2}$ ) |
| $(10\bar{1}4)$              | (1 0 0)   | 0°                          | ...         | 0.640                              | 0.590                            | $(10\bar{1}4)$              | (1 0 0)              | 0°                          | ...         | 0.640                              | 0.590                            |
| $(30\bar{1}29\bar{1}24)$    | (30 0 1)  | 1.9°                        | 9.3         | 0.678                              | 0.604                            | $(30\bar{1}31\bar{1}16)$    | $(30\bar{0}\bar{1})$ | 1.9°                        | 9.2         | 0.694                              | 0.617                            |
| $(25\bar{1}24\bar{1}04)$    | (25 0 1)  | 2.2°                        | 7.8         | 0.685                              | 0.607                            | $(25\bar{1}26\bar{9}6)$     | $(25\bar{0}\bar{1})$ | 2.3°                        | 7.6         | 0.704                              | 0.622                            |
| $(20\bar{1}19\bar{8}4)$     | (20 0 1)  | 2.8°                        | 6.2         | 0.696                              | 0.610                            | $(20\bar{1}21\bar{7}6)$     | $(20\bar{0}\bar{1})$ | 2.8°                        | 6.1         | 0.720                              | 0.629                            |
| $(15\bar{1}14\bar{6}4)$     | (15 0 1)  | 3.7°                        | 4.7         | 0.714                              | 0.616                            | $(15\bar{1}16\bar{5}6)$     | $(15\bar{0}\bar{1})$ | 3.8°                        | 4.6         | 0.747                              | 0.642                            |
| $(10\bar{1}9\bar{4}4)$      | (10 0 1)  | 5.5°                        | 3.1         | 0.749                              | 0.628                            | $(10\bar{1}11\bar{3}6)$     | $(10\bar{0}\bar{1})$ | 5.7°                        | 3.0         | 0.800                              | 0.666                            |
| $(9\bar{1}8\bar{4}0)$       | (9 0 1)   | 6.1°                        | 2.8         | 0.760                              | 0.631                            | $(9\bar{1}10\bar{3}2)$      | $(9\bar{0}\bar{1})$  | 6.4°                        | 2.7         | 0.818                              | 0.675                            |
| $(8\bar{1}7\bar{3}6)$       | (8 0 1)   | 6.8°                        | 2.5         | 0.774                              | 0.638                            | $(8\bar{1}9\bar{2}8)$       | $(8\bar{0}\bar{1})$  | 7.2°                        | 2.4         | 0.839                              | 0.683                            |
| $(7\bar{1}6\bar{3}2)$       | (7 0 1)   | 7.7°                        | 2.2         | 0.791                              | 0.640                            | $(7\bar{1}8\bar{2}4)$       | $(7\bar{0}\bar{1})$  | 8.2°                        | 2.1         | 0.867                              | 0.698                            |
| $(6\bar{1}5\bar{2}8)$       | (6 0 1)   | 8.9°                        | 1.9         | 0.814                              | 0.654                            | $(6\bar{1}7\bar{2}0)$       | $(6\bar{0}\bar{1})$  | 9.6°                        | 1.8         | 0.904                              | 0.711                            |
| $(5\bar{1}4\bar{2}4)$       | (5 0 1)   | 10.6°                       | 1.6         | 0.845                              | 0.656                            | $(5\bar{1}6\bar{1}6)$       | $(5\bar{0}\bar{1})$  | 11.5°                       | 1.5         | 0.955                              | 0.738                            |
| $(4\bar{1}3\bar{2}0)$       | (4 0 1)   | 13.1°                       | 1.3         | 0.888                              | 0.682                            | $(4\bar{1}5\bar{1}2)$       | $(4\bar{0}\bar{1})$  | 14.5°                       | 1.2         | 1.030                              | 0.764                            |
| $(3\bar{1}2\bar{1}6)$       | (3 0 1)   | 16.9°                       | 1.0         | 0.954                              | 0.688                            | $(3\bar{1}4\bar{1}8)$       | $(3\bar{0}\bar{1})$  | 19.3°                       | 0.9         | 1.148                              | 0.824                            |



Espaciamiento de cargas en DS

# Agradecimientos

- Proyecto Fondap 11980002
- Doctorado en Ciencias de la Ingeniería  
mención Ciencia de los Materiales,  
Universidad de Chile.
- Laboratorio de Física no Lineal,  
Universidad de Santiago de Chile.